

A GPU-based real time trigger for rare kaon decays at NA62

Elena Graverini

Università di Pisa



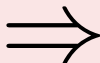
Introduzione

- Introduzione di **GPU** in applicazioni **real-time** in Fisica delle Particelle
- Tecnologia scalabile, economica e in costante sviluppo

In questa tesi:

- Studio ed implementazione di un **trigger** in tempo reale per **NA62**
- Per la prima volta: prototipo utilizzabile in presa dati

Validazione e progetto
con simulazioni
Montecarlo



Implementazione su
GPU e test

1 Introduzione e contesto

2 Studio di fattibilità tramite simulazioni Montecarlo

- Definizione dell'obiettivo
- Sviluppo di un algoritmo di ricostruzione eventi per il RICH
- Analisi dei fattori di reiezione
- Risultati dello studio e prestazioni ottimali

3 Sviluppo dell'algoritmo di trigger su GPU

- Fit di anelli Čerenkov multipli
- Architettura del trigger

4 Test del trigger e conclusioni

- Efficienza e tempo di esecuzione
- Prospettive e conclusioni

1 Introduzione e contesto

2 Studio di fattibilità tramite simulazioni Montecarlo

- Definizione dell'obiettivo
- Sviluppo di un algoritmo di ricostruzione eventi per il RICH
- Analisi dei fattori di proiezione
- Risparmio dello studio e prestazioni ottimali

3 Sviluppo di un algoritmo di trigger su GPU

- Fit di anelli Cerenkov multipli
- Architettura del trigger

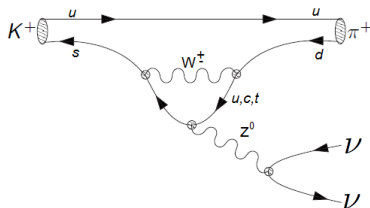
4 Test del trigger e conclusioni

- Efficienza e tempo di esecuzione
- Prospettive e conclusioni

L'esperimento NA62: scopo

Il decadimento $K^+ \rightarrow \pi^+ \nu \bar{\nu}$:

- FCNC soppresso dal meccanismo GIM
- contribuiscono solo diagrammi a loop:
 - ▶ Z "penguin"
 - ▶ W box



Accurata previsione dal Modello Standard:

$$BR(K^+ \rightarrow \pi^+ \nu \bar{\nu}) = (7.81_{-0.71}^{+0.80} \pm 0.29) \times 10^{-11}$$

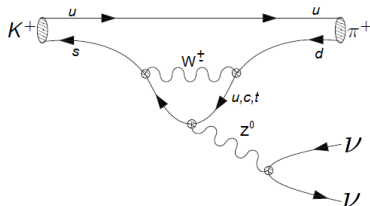
NA62: $\mathcal{O}(100)$ eventi con S/B 10:1

- test stringente sul Modello Standard: **nuova fisica?**
- SM: misura indipendente del parametro V_{td} della matrice CKM

L'esperimento NA62: scopo

Il decadimento $K^+ \rightarrow \pi^+ \nu \bar{\nu}$:

- FCNC soppresso dal meccanismo GIM
- contribuiscono solo diagrammi a loop:
 - ▶ Z "penguin"
 - ▶ W box



Accurata previsione dal Modello Standard: errore teorico $< 4\%$

$$BR(K^+ \rightarrow \pi^+ \nu \bar{\nu}) = (7.81_{-0.71}^{+0.80} \pm 0.29) \times 10^{-11}$$

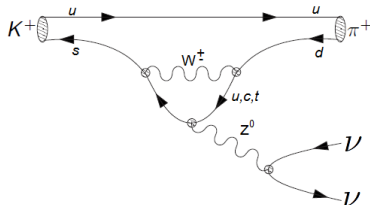
NA62: $\mathcal{O}(100)$ eventi con S/B 10:1

- test stringente sul Modello Standard: nuova fisica?
- SM: misura indipendente del parametro V_{td} della matrice CKM

L'esperimento NA62: scopo

Il decadimento $K^+ \rightarrow \pi^+ \nu \bar{\nu}$:

- FCNC soppresso dal meccanismo GIM
- contribuiscono solo diagrammi a loop:
 - ▶ Z "penguin"
 - ▶ W box



Accurata previsione dal Modello Standard: errore teorico $< 4\%$

$$BR(K^+ \rightarrow \pi^+ \nu \bar{\nu}) = (7.81_{-0.71}^{+0.80} \pm 0.29) \times 10^{-11}$$

NA62: $\mathcal{O}(100)$ eventi con S/B 10:1

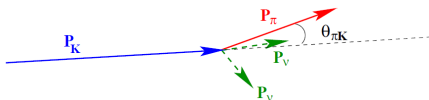
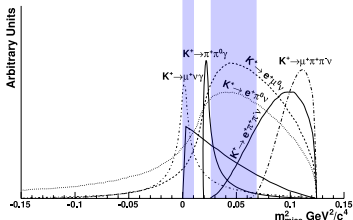
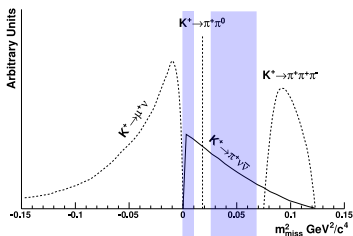
- test stringente sul Modello Standard: **nuova fisica?**
- SM: misura indipendente del parametro V_{td} della matrice CKM

NA62 e gli esperimenti precedenti

- Precedenti misure: K a riposo
- E949 (Brookhaven National Lab): 7 candidati (1.4 fondo)
 - ▶ $BR(K^+ \rightarrow \pi^+ \nu \bar{\nu}) = (1.73_{-1.05}^{+1.15}) \times 10^{-10}$ (2009)
- **NA62**: K ad alta energia che decadono in volo
 - ▶ CERN North Area n°62
 - ▶ presa dati: 2014–2016 $\rightarrow 10^{13}$ decadimenti
 - ▶ fondo / segnale $\simeq 10^{10}$



Principali fondi e definizione del segnale



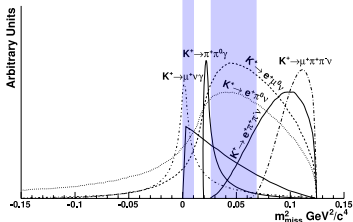
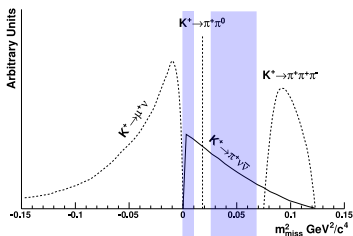
- misura di K^+ e π^+
- massa mancante \rightarrow regioni fiduciali

$$m_{miss}^2 \equiv (P_K - P_\pi)^2$$

Principali fondi:

Canale	BR	Strategia di reiezione
$\mu^+ \nu_\mu$	63%	cinematica + μ PID
$\pi^+ \pi^0$	21%	cinematica + γ veto
$\pi^+ \pi^+ \pi^-$	6%	cinematica + π^\pm veto
$\pi^+ \pi^0 \pi^0$	2%	cinematica + γ veto
$\pi^0 e^+ \nu_e$	5%	e PID + γ veto
$\pi^0 \mu^+ \nu_\mu$	3%	μ PID + γ veto

Principali fondi e definizione del segnale



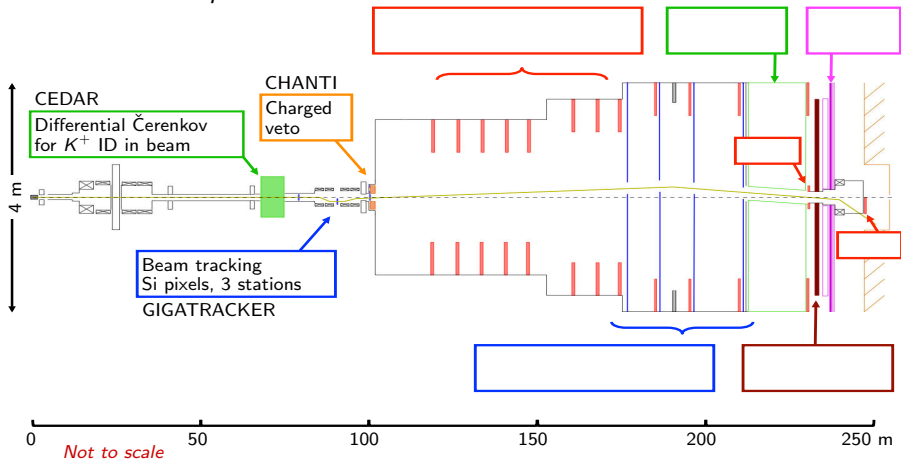
Definizione del *segnale*:

- $K^+ \rightarrow \pi^+ \nu \bar{\nu}$
- **impulso**: $15 \leq P_\pi \leq 35 \text{ GeV}/c$
 - ▶ separazione π - μ nel RICH
 - ▶ $40 \text{ GeV}/c$ agli altri prodotti per assicurarne la rivelazione
- **vertice**: $105 \leq z \leq 165 \text{ m}$
- **due regioni** di massa mancante che escludono $K^+ \rightarrow \pi^+ \pi^0$

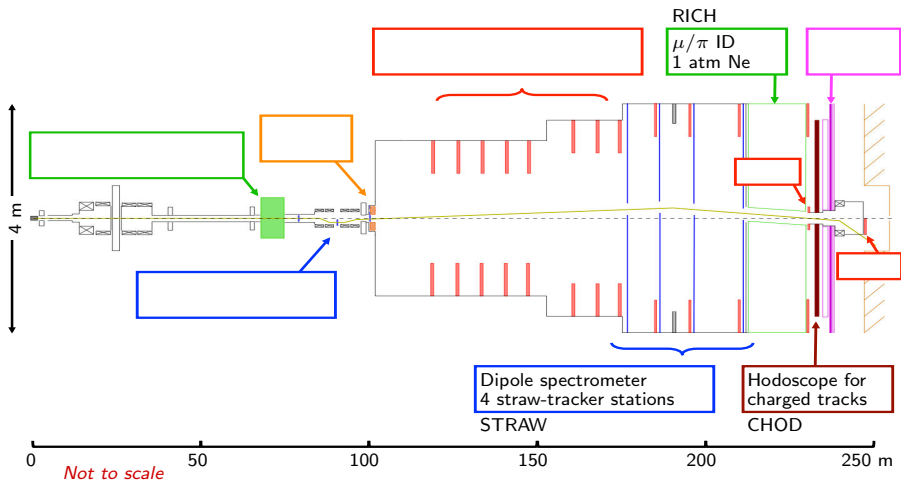
L'esperimento NA62: apparato

Fascio: 750 MHz $P_{beam} = (75 \pm 1) \text{ GeV}/c$

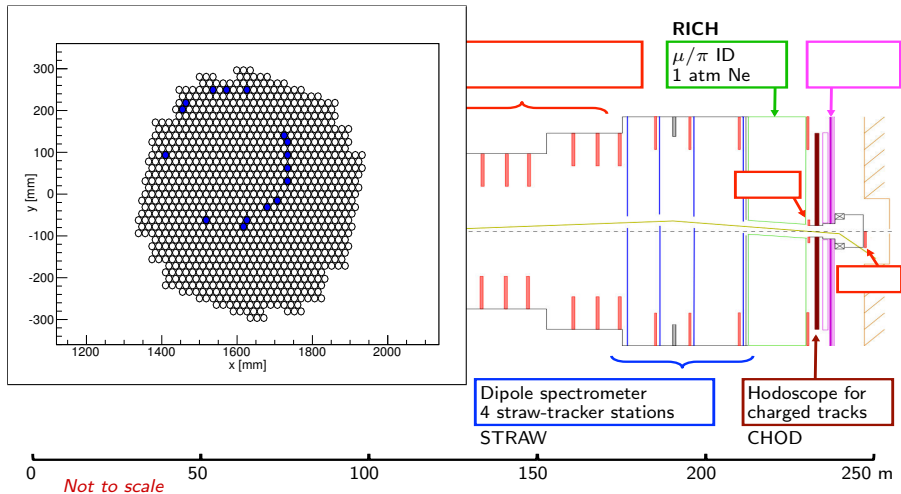
70% π^+ 23% p 6% K^+



L'esperimento NA62: apparato

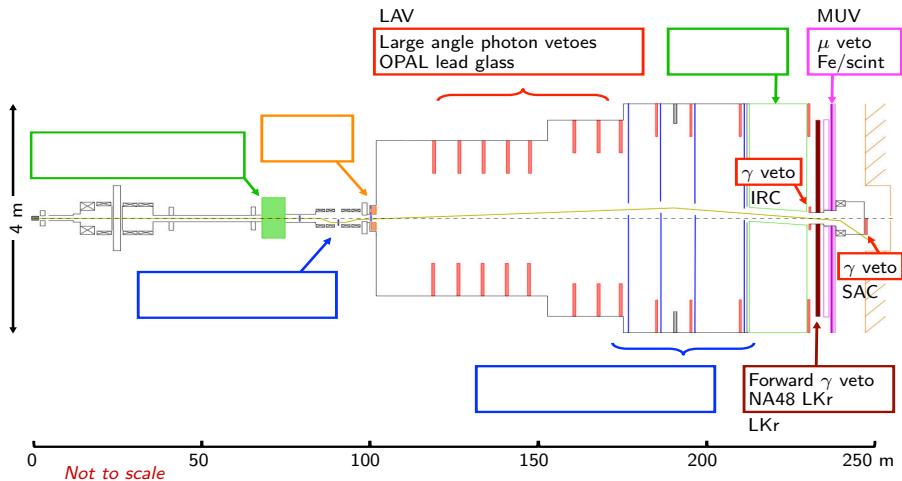


L'esperimento NA62: apparato



L'esperimento NA62: apparato

Sistema di veto per γ e μ



Sistema di trigger ed acquisizione dati

Sistema **unificato** di trigger ed acquisizione dati (TEL62).

Trigger: da $\mathcal{O}(10 \text{ MHz})$ a $\mathcal{O}(10 \text{ kHz})$

L0: implementato su hardware. Latenza massima di 1 ms (buffer)

L1: software. Singoli rivelatori. Latenza $\geq 1 \text{ s}$

L2: software. Ricostruzione eventi.

Trigger online (**L0**)

Odoscopio almeno 1 traccia

RICH $5 \leq \text{hits} \leq 32$

μ **Veto** nessun hit

Calorimetro massimo 1 cluster

Composizione output:

$K^+ \rightarrow \pi^+ \pi^0$	63%
$K^+ \rightarrow \pi^+ \pi^+ \pi^-$	20%
$K^+ \rightarrow \pi^0 e^+ \nu_e$	10%
Altro	7%
<hr/>	
Totale	$< 1 \text{ MHz}$

Sistema di trigger ed acquisizione dati

Sistema **unificato** di trigger ed acquisizione dati (TEL62).

Trigger: da $\mathcal{O}(10 \text{ MHz})$ a $\mathcal{O}(10 \text{ kHz})$

L0: implementato su hardware. Latenza massima di 1 ms (buffer)

L1: software. Singoli rivelatori. Latenza $\geq 1 \text{ s}$

L2: software. Ricostruzione eventi.

Trigger online (**L0**)

Odoscopio almeno 1 traccia

RICH $5 \leq \text{hits} \leq 32$

μ **Veto** nessun hit

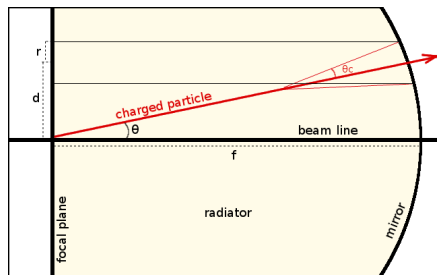
Calorimetro massimo 1 cluster

Composizione output:

$K^+ \rightarrow \pi^+ \pi^0$	63%
$K^+ \rightarrow \pi^+ \pi^+ \pi^-$	20%
$K^+ \rightarrow \pi^0 e^+ \nu_e$	10%
Altro	7%
<hr/>	
Totale	$< 1 \text{ MHz}$

Utilizzo real-time del RICH

- Risoluzione temporale ≤ 100 ps
- Partecipa al L0 con selezione di molteplicità
- Usare informazioni più raffinate?

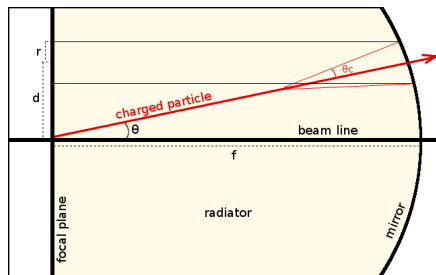


Anelli Cherenkov in tempo reale?

- velocità: $\cos \theta_c = 1/(n\beta)$
- direzione di volo: $\theta = \tan(d/f)$
- assunzione sul tipo di particella (π^+) \Rightarrow impulso
- condizioni di trigger **selettive**

Utilizzo real-time del RICH

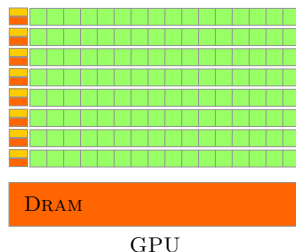
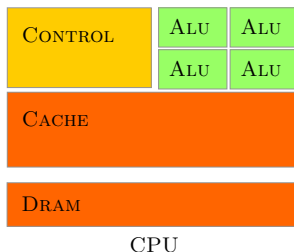
- Risoluzione temporale ≤ 100 ps
- Partecipa al L0 con selezione di molteplicità
- Usare informazioni più raffinate?



Anelli Cherenkov in tempo reale?

- velocità: $\cos \theta_c = 1/(n\beta)$
- direzione di volo: $\theta = \tan(d/f)$
- assunzione sul tipo di particella (π^+) \Rightarrow impulso
- condizioni di trigger **selettive**

Processori grafici (GPU)



- architettura parallela (**threads**, **blocks**) e scalabile
- mercato della computer grafica \Rightarrow continuo sviluppo
- **GPGPU** – *General Purpose computing on GPUs*

Le GPU come trigger

Fisica delle particelle: parallelizzazione **intrinseca**

- **eventi** computazionalmente indipendenti
- geometria dei rivelatori
 - ▶ matrice di PM del RICH

Algoritmi: parallelizzazione **esplicita**

Possibile ottenere latenze minori di 1 ms in modo semplice ed **economico!**



Utilizzo di GPU **in tempo reale:**

alto rate ⇔ *alto throughput*



1. Introduzione e contesto

2. Studio di fattibilità tramite simulazioni Montecarlo

- Definizione dell'obiettivo
- Sviluppo di un algoritmo di ricostruzione eventi per il RICH
- Analisi dei fattori di reiezione
- Risultati dello studio e prestazioni ottimali

3. Analisi del trigger su CPU

- Fit di anelli Ceremio multipli
- Architettura del trigger

4. Test del trigger e conclusioni

- Efficienza e tempo di esecuzione
- Prospettive e conclusioni

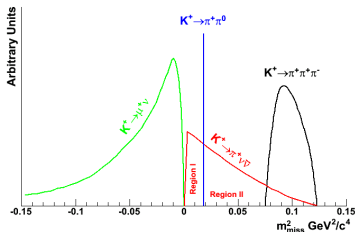
Il fondo $K^+ \rightarrow \pi^+ \pi^0$

Decadimento a 2 corpi \Rightarrow cinematica **vincolata**:

$$m_{miss}^2 \equiv (P_K - P_{\pi^+})^2 = m_{\pi^0}^2$$

$$(P_K^\mu P_{\pi\mu}) \text{ invariante} \Rightarrow m_K E_\pi^* = E_K E_\pi - |\vec{P}_K| |\vec{P}_\pi| \cos \theta_{K\pi}$$

\rightarrow relazione tra velocità del pione ed angolo di decadimento



\rightarrow Riconoscere e rigettare $\pi^+ \pi^0$ usando solo β_π e $\theta_{K\pi}$ (RICH)? \leftarrow

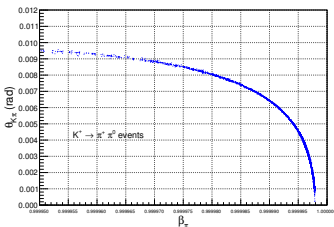
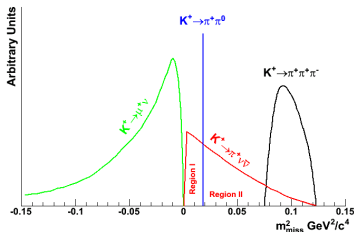
Il fondo $K^+ \rightarrow \pi^+ \pi^0$

Decadimento a 2 corpi \Rightarrow cinematica **vincolata**:

$$m_{miss}^2 \equiv (P_K - P_{\pi^+})^2 = m_{\pi^0}^2$$

$$(P_K^\mu P_{\pi\mu}) \text{ invariante} \Rightarrow m_K E_\pi^* = E_K E_\pi - |\vec{P}_K| |\vec{P}_\pi| \cos \theta_{K\pi}$$

\rightarrow relazione tra velocità del pione ed angolo di decadimento



\rightarrow Riconoscere e rigettare $\pi^+ \pi^0$ usando solo β_π e $\theta_{K\pi}$ (RICH)? \leftarrow

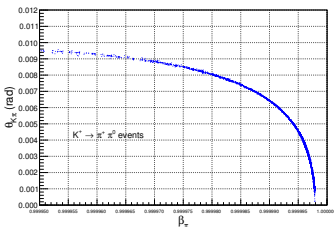
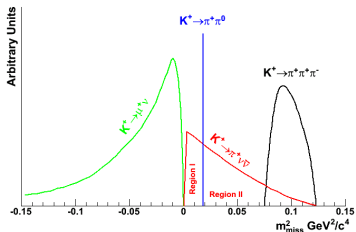
Il fondo $K^+ \rightarrow \pi^+ \pi^0$

Decadimento a 2 corpi \Rightarrow cinematica **vincolata**:

$$m_{miss}^2 \equiv (P_K - P_{\pi^+})^2 = m_{\pi^0}^2$$

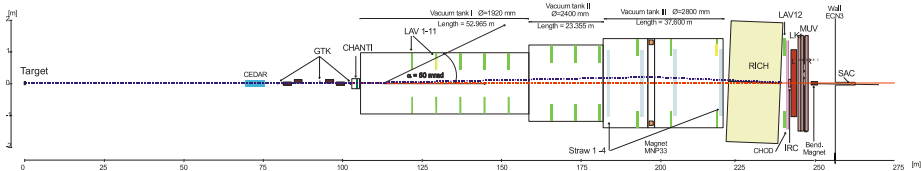
$$(P_K^\mu P_{\pi\mu}) \text{ invariante} \Rightarrow m_K E_\pi^* = E_K E_\pi - |\vec{P}_K| |\vec{P}_\pi| \cos \theta_{K\pi}$$

\rightarrow relazione tra velocità del pione ed angolo di decadimento



\rightarrow Riconoscere e rigettare $\pi^+ \pi^0$ usando solo β_π e $\theta_{K\pi}$ (RICH)? \leftarrow

Simulazione e ricostruzione degli eventi sul RICH

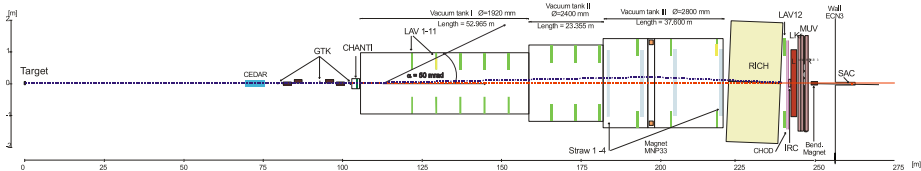


Framework di NA62: simulazione (Geant4 + ROOT) + ricostruzione (ROOT)

- simulazione evento \rightarrow fotomoltiplicatori colpiti
- fit di anelli Cherenkov ai PMT

- correzioni geometriche
- propagazione all'indietro
- \rightarrow quantità ricostruite: $\beta_\pi, \theta_{K\pi}$

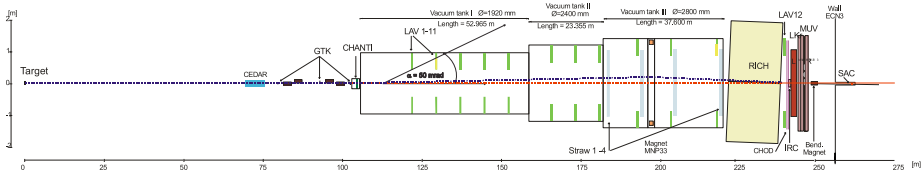
Simulazione e ricostruzione degli eventi sul RICH



Framework di NA62: simulazione (Geant4 + ROOT) + ricostruzione (ROOT)

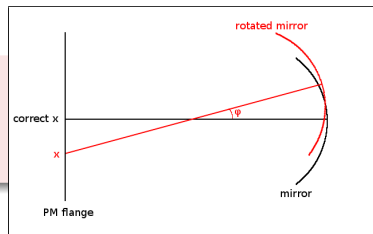
- simulazione evento → fotomoltiplicatori colpiti
 - fit di anelli Cherenkov ai PMT
- correzioni geometriche
 - propagazione all'indietro
 - → quantità ricostruite: β_{π} , $\theta_{K\pi}$

Simulazione e ricostruzione degli eventi sul RICH

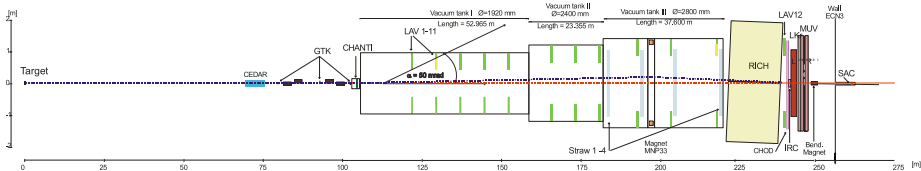


Framework di NA62: simulazione (Geant4 + ROOT) + ricostruzione (ROOT)

- simulazione evento → fotomoltiplicatori colpiti
- fit di anelli Cherenkov ai PMT
- correzioni geometriche
- propagazione all'indietro
- → quantità ricostruite: β_{π} , $\theta_{K\pi}$

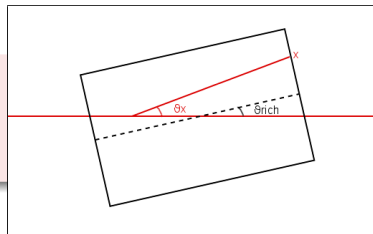


Simulazione e ricostruzione degli eventi sul RICH

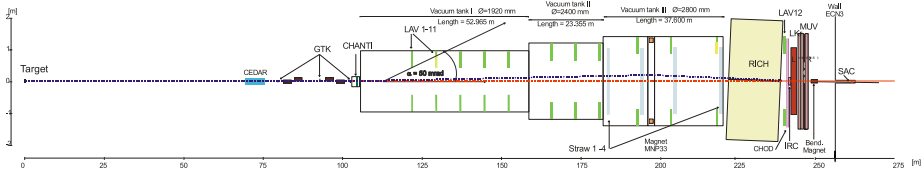


Framework di NA62: simulazione (Geant4 + ROOT) + ricostruzione (ROOT)

- simulazione evento → fotomoltiplicatori colpiti
- fit di anelli Cherenkov ai PMT
- correzioni geometriche
- propagazione all'indietro
- → quantità ricostruite: β_{π} , $\theta_{K\pi}$

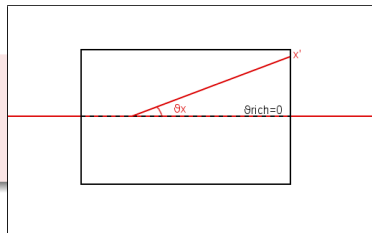


Simulazione e ricostruzione degli eventi sul RICH

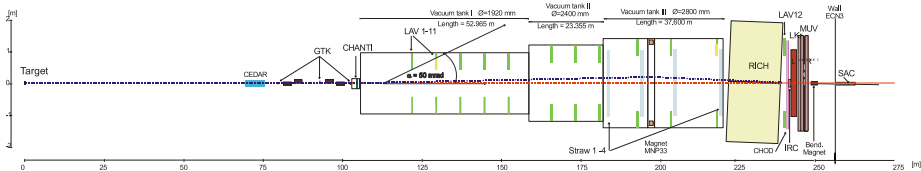


Framework di NA62: simulazione (Geant4 + ROOT) + ricostruzione (ROOT)

- simulazione evento → fotomoltiplicatori colpiti
- fit di anelli Cherenkov ai PMT
- correzioni geometriche
- propagazione all'indietro
- → quantità ricostruite: β_π , $\theta_{K\pi}$

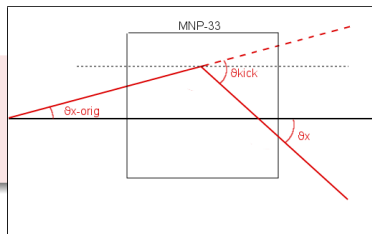


Simulazione e ricostruzione degli eventi sul RICH

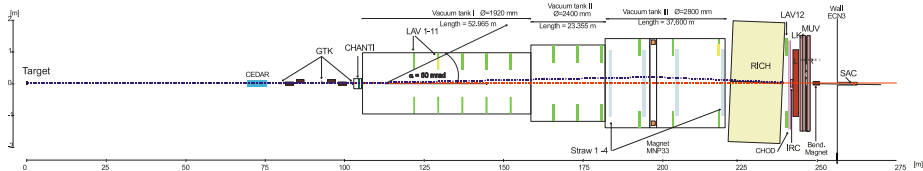


Framework di NA62: simulazione (Geant4 + ROOT) + ricostruzione (ROOT)

- simulazione evento → fotomoltiplicatori colpiti
 - fit di anelli Cherenkov ai PMT
- correzioni geometriche
 - propagazione all'indietro
 - → quantità ricostruite: β_{π} , $\theta_{K\pi}$

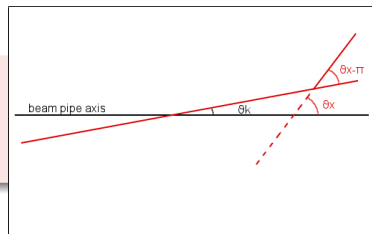


Simulazione e ricostruzione degli eventi sul RICH

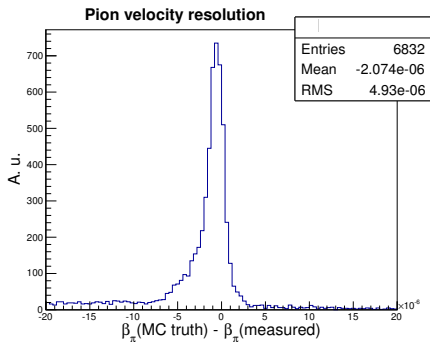
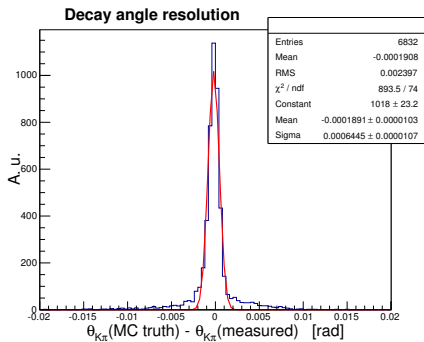


Framework di NA62: simulazione (Geant4 + ROOT) + ricostruzione (ROOT)

- simulazione evento → fotomoltiplicatori colpiti
- fit di anelli Cherenkov ai PMT
- correzioni geometriche
- propagazione all'indietro
- → quantità ricostruite: β_{π} , $\theta_{K\pi}$

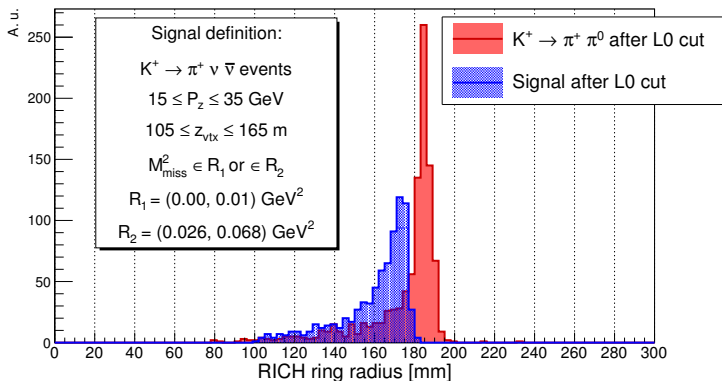


Accuratezza di ricostruzione



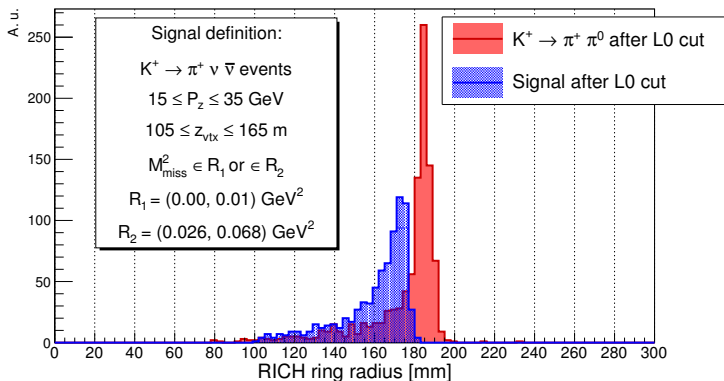
- angolo di decadimento: $\sigma(\theta_{K\pi}) \sim 1$ mrad
- velocità del pione: $\sigma(\beta_{\pi}) \sim 5 \times 10^{-6}$

Analisi dei fattori di reiezione: impulso



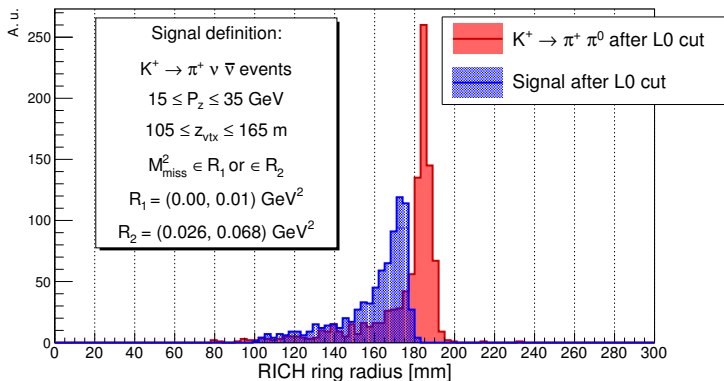
- selezioni stringenti in fase di analisi: $P_\pi \leq 35$ GeV/c
- \exists raggio massimo r_{max} degli anelli Cherenkov per il segnale
- distribuzione r_c per $K^+ \rightarrow \pi^+ \pi^0$

Analisi dei fattori di reiezione: impulso



- selezioni stringenti in fase di analisi: $P_\pi \leq 35$ GeV/c
- \exists raggio massimo r_{max} degli anelli Cherenkov per il segnale
- distribuzione r_c per $K^+ \rightarrow \pi^+ \pi^0$

Analisi dei fattori di reiezione: impulso



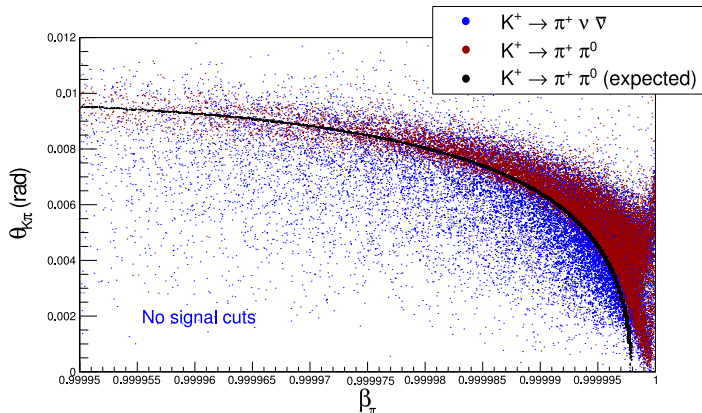
- selezioni stringenti in fase di analisi: $P_\pi \leq 35 \text{ GeV}/c$
- \exists raggio massimo r_{max} degli anelli Cherenkov per il segnale
- distribuzione r_c per $K^+ \rightarrow \pi^+ \pi^0 \implies$ **60÷70% rigettabile**

Analisi dei fattori di reiezione: cinematica $\pi^+\pi^0$

- risoluzione ottenibile a livello L0 \rightarrow
- ricerca di variabili che
 - ▶ sfruttino la cinematiche chiusa del $K^+ \rightarrow \pi^+\pi^0$
 - ▶ permettano la separazione tra segnale e fondo
- ad es.: 'anomalia' angolo di decadimento $\delta \equiv \theta(K\pi)_{reco} - \theta(K\pi)_{K^+ \rightarrow \pi^+\pi^0}$

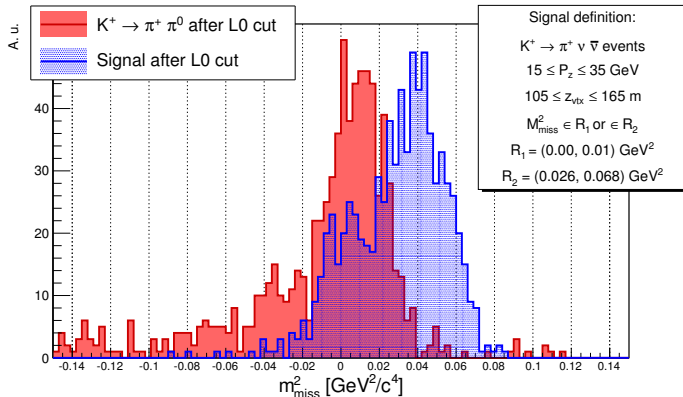
Analisi dei fattori di reiezione: cinematica $\pi^+\pi^0$

- risoluzione ottenibile a livello L0 \rightarrow ~~tagli bidimensionali~~
- ricerca di variabili che
 - ▶ sfruttino la cinematiche chiusa del $K^+ \rightarrow \pi^+\pi^0$
 - ▶ permettano la separazione tra segnale e fondo
- ad es.: 'anomalia' angolo di decadimento $\delta \equiv \theta(K\pi)_{reco} - \theta(K\pi)_{K^+ \rightarrow \pi^+\pi^0}$



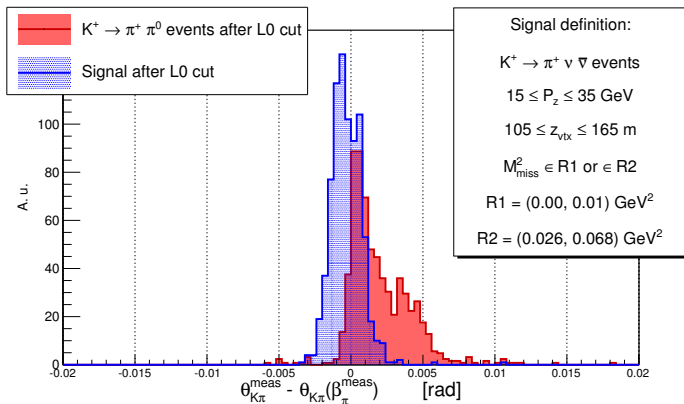
Analisi dei fattori di reiezione: cinematica $\pi^+\pi^0$

- risoluzione ottenibile a livello L0 \rightarrow ~~tagli bidimensionali~~ ~~m_{miss}^2~~
- ricerca di variabili che
 - ▶ sfruttino la cinematiche chiusa del $K^+ \rightarrow \pi^+\pi^0$
 - ▶ permettano la separazione tra segnale e fondo
- ad es.: 'anomalia' angolo di decadimento $\delta \equiv \theta(K\pi)_{reco} - \theta(K\pi)_{K^+ \rightarrow \pi^+\pi^0}$



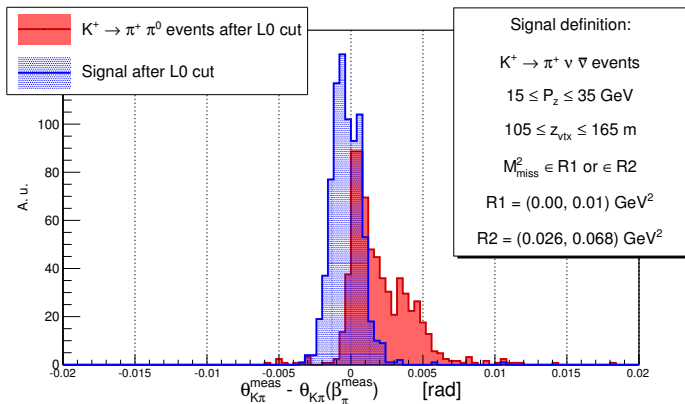
Analisi dei fattori di reiezione: cinematica $\pi^+\pi^0$

- risoluzione ottenibile a livello L0 \rightarrow ~~tagli bidimensionali~~ ~~m_{miss}^2~~
- ricerca di variabili che
 - ▶ sfruttino la cinematiche chiusa del $K^+ \rightarrow \pi^+\pi^0$
 - ▶ permettano la separazione tra segnale e fondo
- ad es.: 'anomalia' angolo di decadimento $\delta \equiv \theta(K\pi)_{reco} - \theta(K\pi)_{K^+ \rightarrow \pi^+\pi^0}$



Analisi dei fattori di reiezione: cinematica $\pi^+\pi^0$

- risoluzione ottenibile a livello L0 \rightarrow ~~tagli bidimensionali~~ ~~m_{miss}^2~~
- ricerca di variabili che
 - ▶ sfruttino la cinematiche chiusa del $K^+ \rightarrow \pi^+\pi^0$
 - ▶ permettano la separazione tra segnale e fondo
- ad es.: 'anomalia' angolo di decadimento $\delta \equiv \theta(K\pi)_{reco} - \theta(K\pi)_{K^+ \rightarrow \pi^+\pi^0}$



Prestazioni massime dell'algorithmo di trigger

Tagli	Efficienza segnale	Reiezione RICH (oltre L0)
$r_c \leq 17.9$ cm	98.6 ± 0.4 %	65 ± 1 %

- Reiezione $\pi^+\pi^0$ del trigger L0 standard: $(76.7 \pm 0.4)\%$
- Raggio Cherenkov:
 - ▶ r_{th} da 17.6 cm a 18.1 cm
 - ▶ efficienza da 92.6% a 99.6%
 - ▶ reiezione $\pi^+\pi^0$ dopo L0 da 59% a 70%
- δ agisce su variabili correlate (P_π)
- $\chi^2 \leq 1$ assicura che ci sia un solo anello Cherenkov (MC: fit di 1 solo cerchio)

Prestazioni massime dell'algorithmo di trigger

Tagli	Efficienza segnale	Reiezione RICH (oltre L0)
$r_c \leq 17.9$ cm	98.6 ± 0.4 %	65 ± 1 %
$r_c \leq 17.9$ cm $\delta \leq 0.002$	98.0 ± 0.4 %	72 ± 1 %

- Reiezione $\pi^+\pi^0$ del trigger L0 standard: $(76.7 \pm 0.4)\%$
- Raggio Cherenkov:
 - ▶ r_{th} da 17.6 cm a 18.1 cm
 - ▶ efficienza da 92.6% a 99.6%
 - ▶ reiezione $\pi^+\pi^0$ dopo L0 da 59% a 70%
- δ agisce su variabili correlate (P_π)
- $\chi^2 \leq 1$ assicura che ci sia un solo anello Cherenkov (MC: fit di 1 solo cerchio)

Prestazioni massime dell'algorithmo di trigger

Tagli	Efficienza segnale	Reiezione RICH (oltre L0)
$r_c \leq 17.9$ cm	98.6 ± 0.4 %	65 ± 1 %
$r_c \leq 17.9$ cm $\delta \leq 0.002$	98.0 ± 0.4 %	72 ± 1 %
$r_c \leq 17.9$ cm $\delta \leq 0.002$ $\chi^2 \leq 1$	96.2 ± 0.7 %	77 ± 1 %

- Reiezione $\pi^+\pi^0$ del trigger L0 standard: $(76.7 \pm 0.4)\%$
- Raggio Cherenkov:
 - ▶ r_{th} da 17.6 cm a 18.1 cm
 - ▶ efficienza da 92.6% a 99.6%
 - ▶ reiezione $\pi^+\pi^0$ dopo L0 da 59% a 70%
- δ agisce su variabili correlate (P_π)
- $\chi^2 \leq 1$ assicura che ci sia un solo anello Cherenkov (MC: fit di 1 solo cerchio)

1

Introduzione e contesto

2

Studio di fattibilità tramite simulazioni Montecarlo

- Definizione dell'obiettivo
- Sviluppo di un algoritmo di ricostruzione eventi per il RICH
- Analisi dei fattori di selezione
- Risparmio dello studio e prestazioni ottimali

3

Sviluppo dell'algoritmo di trigger su GPU

- Fit di anelli Čerenkov multipli
- Architettura del trigger

4

Test del trigger e conclusioni

- Efficienza e tempo di esecuzione
- Prospettive e conclusioni

Necessità di un algoritmo *multi-ring*

- 1 anello Cherenkov \forall particella carica nell'accettanza:
 - ▶ $K^+ \rightarrow \pi^+\pi^0 \rightarrow \pi^+\gamma e^+e^-$
 - ▶ $K^+ \rightarrow \pi^+\pi^+\pi^-$, e $K^+ \rightarrow \pi^+\pi^0\pi^0$ con conversione di π^0
 - ▶ inelastici su materiale, produzione di adroni, rumore
- \implies necessità di identificare **tutti** gli anelli
- trigger **dedicati** per ricerca di altri canali, ad es. LV / LFV:
 - ▶ $K^+ \rightarrow \pi^+\mu^\pm e^\mp$
 - ▶ $K^+ \rightarrow \pi^-\ell^+\ell'^+$
 - ▶ statistica di NA62 \longrightarrow migliorare di un fattore 10 i limiti attuali
 - ▶ prossimo lavoro su GPU+RICH

Necessità di un algoritmo *multi-ring*

- 1 anello Cherenkov \forall particella carica nell'accettanza:
 - ▶ $K^+ \rightarrow \pi^+ \pi^0 \rightarrow \pi^+ \gamma e^+ e^-$
 - ▶ $K^+ \rightarrow \pi^+ \pi^+ \pi^-$, e $K^+ \rightarrow \pi^+ \pi^0 \pi^0$ con conversione di π^0
 - ▶ inelastici su materiale, produzione di adroni, rumore
- \implies necessità di identificare **tutti** gli anelli
- trigger **dedicati** per ricerca di altri canali, ad es. **LV / LFV**:
 - ▶ $K^+ \rightarrow \pi^+ \mu^\pm e^\mp$
 - ▶ $K^+ \rightarrow \pi^- \ell^+ \ell'^+$
 - ▶ statistica di NA62 \longrightarrow migliorare di un fattore 10 i limiti attuali
 - ▶ prossimo lavoro su GPU+RICH



Sviluppo di un algoritmo di fit parallelizzato

Caratteristiche necessarie:

- velocità di esecuzione compatibile con l'utilizzo in **tempo reale**
- **seedless**: nessuna informazione preventiva sull'evento
- **multi-ring**
- più **accurato** e **robusto** possibile

Non esistono algoritmi paralleli per il fit di cerchi multipli.

– **Idea: algoritmo a due passi** –

Riconoscimento di pattern:

scoprire quanti cerchi sono presenti, e passarli ad un algoritmo di fit di singolo cerchio

→

→

→

→

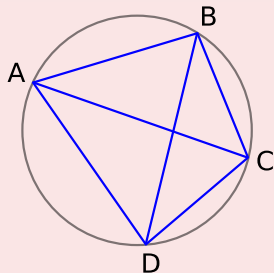
→

Fit di singolo cerchio:

trovare l'algoritmo più efficace

#1: Riconoscimento di pattern

Il teorema di Tolomeo



In un quadrilatero ciclico, il prodotto delle lunghezze delle diagonali è uguale alla somma dei prodotti delle lunghezze delle due coppie di lati opposti.

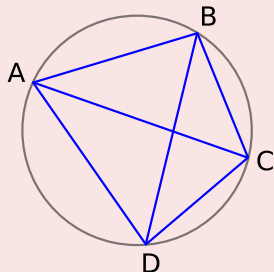
$$\overline{AB} \cdot \overline{CD} + \overline{AD} \cdot \overline{BC} - \overline{AC} \cdot \overline{BD} = 0$$

- Scegliere tre punti (PMT colpiti)
- \forall 4° punto, verificare la relazione
- Vale la relazione \Rightarrow i 4 punti appartengono allo stesso cerchio
- Candidati \rightarrow fit di singoli cerchi

Triplette iniziali?

#1: Riconoscimento di pattern

Il teorema di Tolomeo



In un quadrilatero ciclico, il prodotto delle lunghezze delle diagonali è uguale alla somma dei prodotti delle lunghezze delle due coppie di lati opposti.

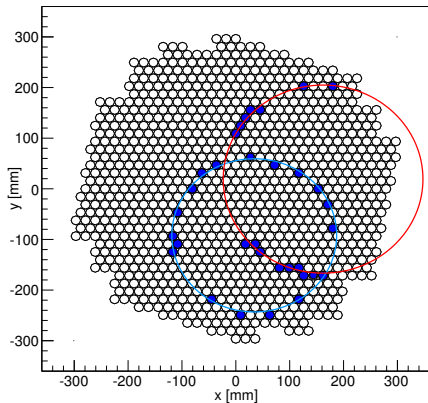
$$\overline{AB} \cdot \overline{CD} + \overline{AD} \cdot \overline{BC} - \overline{AC} \cdot \overline{BD} = 0$$

- Scegliere tre punti (PMT colpiti)
- \forall 4° punto, verificare la relazione
- Vale la relazione \Rightarrow i 4 punti appartengono allo stesso cerchio
- Candidati \rightarrow fit di singoli cerchi

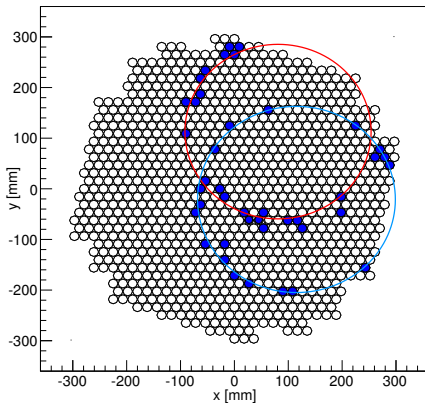
Triplette iniziali?

#1: Riconoscimento di pattern

RICH event featuring a π^+ and an e $^+$



RICH event featuring a π^+ and an e $^+$

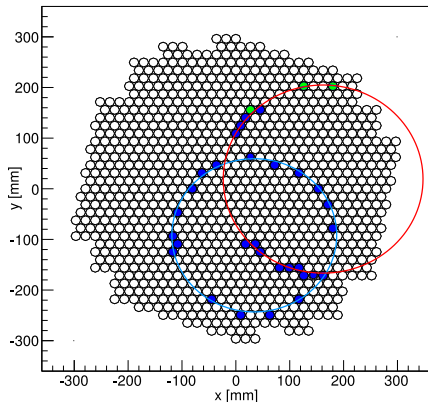


Selezione triplette: caratteristiche necessarie

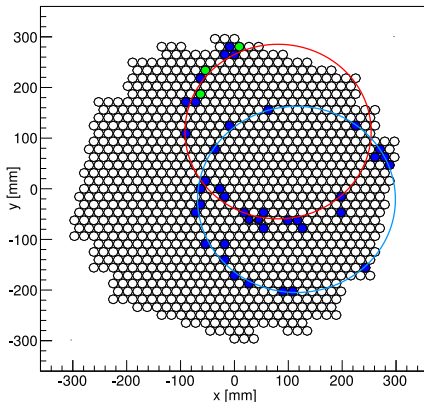
- punti ben separati
- massimizzare la probabilità di appartenere allo stesso anello

#1: Riconoscimento di pattern

RICH event featuring a π^+ and an e^+



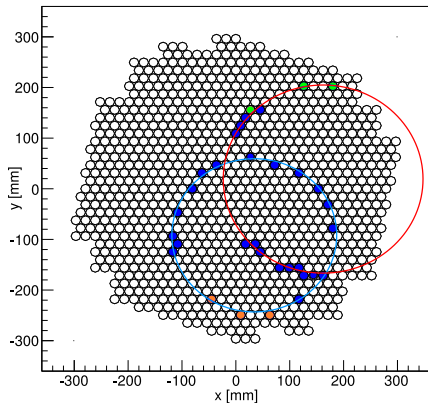
RICH event featuring a π^+ and an e^+



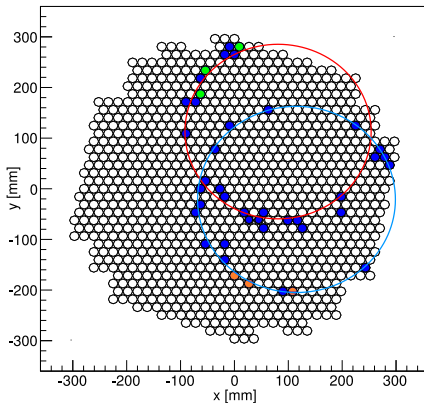
- 1 i tre punti più in **alto**
- 2 i tre punti più in **basso**
- 3 i tre punti più a **sinistra**
- 4 i tre punti più a **destra**

#1: Riconoscimento di pattern

RICH event featuring a π^+ and an e^+



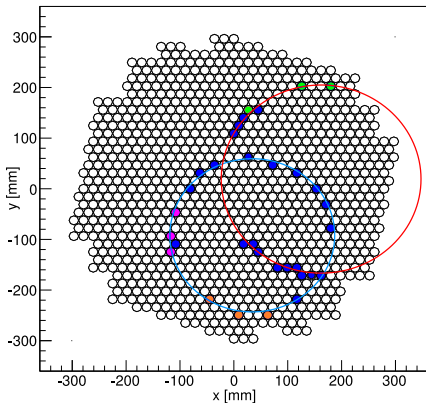
RICH event featuring a π^+ and an e^+



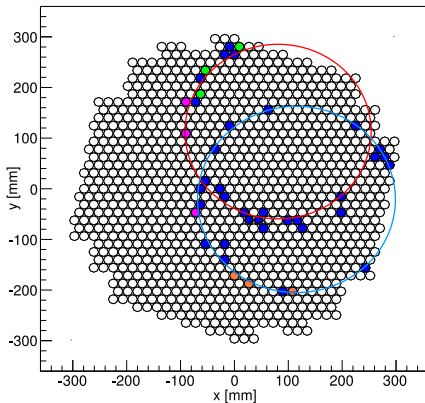
- 1 i tre punti più in **alto**
- 2 i tre punti più in **basso**
- 3 i tre punti più a **sinistra**
- 4 i tre punti più a **destra**

#1: Riconoscimento di pattern

RICH event featuring a π^+ and an e $^+$



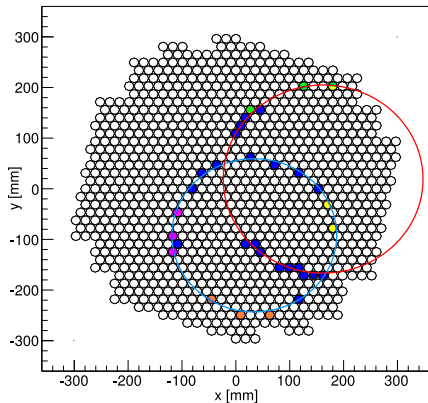
RICH event featuring a π^+ and an e $^+$



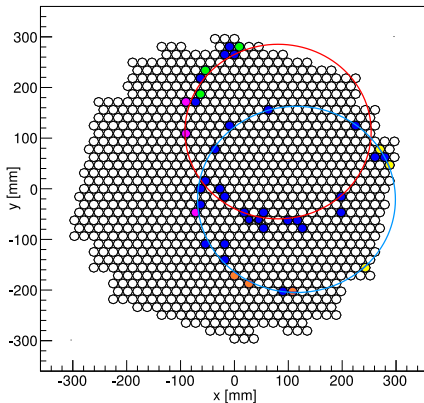
- 1 i tre punti più in **alto**
- 2 i tre punti più in **basso**
- 3 i tre punti più a **sinistra**
- 4 i tre punti più a **destra**

#1: Riconoscimento di pattern

RICH event featuring a π^+ and an e^+



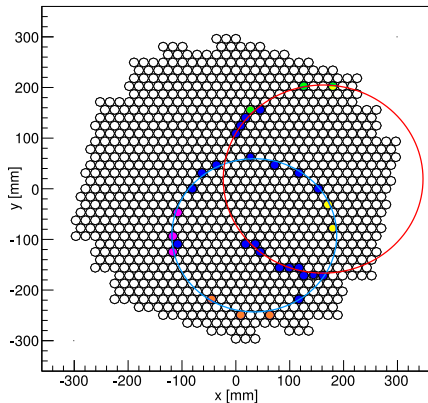
RICH event featuring a π^+ and an e^+



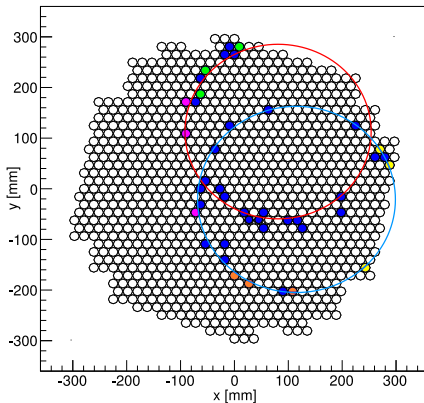
- 1 i tre punti più in **alto**
- 2 i tre punti più in **basso**
- 3 i tre punti più a **sinistra**
- 4 i tre punti più a **destra**

#1: Riconoscimento di pattern

RICH event featuring a π^+ and an e $^+$



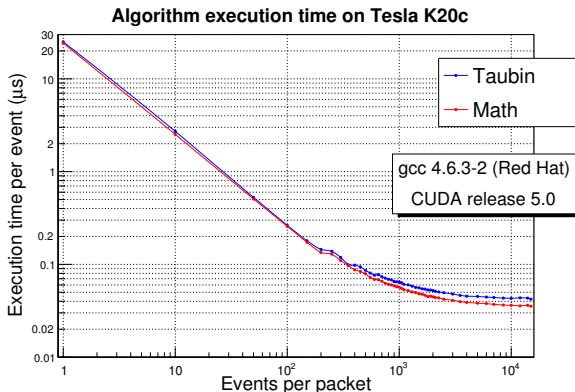
RICH event featuring a π^+ and an e $^+$



In questi due eventi, entrambi i cerchi verranno identificati.
Più aumenta il numero di cerchi, più questo metodo perderà efficienza.

#2: Identificazione dei singoli cerchi

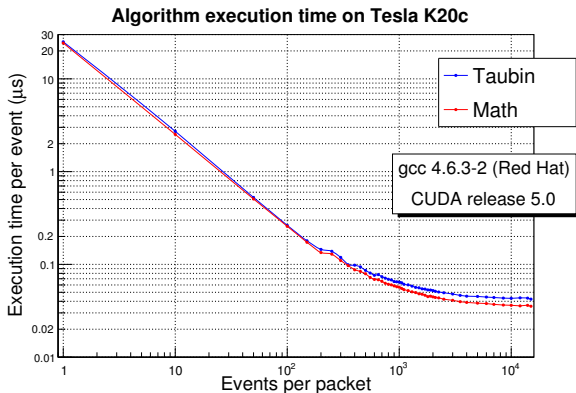
- Precedentemente testati vari algoritmi, anche parallelizzati
- Più accurato e veloce: metodo dei **minimi quadrati** (fit algebrico)
- Ricerca di algoritmi più robusti → metodo di **Taubin**
- Tempo di esecuzione compatibile? Implementazione semi-parallela:
 $\Delta t \sim 0.03 \div 0.2 \mu\text{s/evt}$ (n eventi in parallelo su GPU)



#2: Identificazione dei singoli cerchi

- Precedentemente testati vari algoritmi
- Più accurato e veloce: metodo dei **mir**
- Ricerca di algoritmi più robusti → metodo di **Taubin**
- Tempo di esecuzione compatibile? Implementazione semi-parallela:
 $\Delta t \sim 0.03 \div 0.2 \mu\text{s/evt}$ (n eventi in parallelo su GPU)

$$r_i = \sqrt{(x_i - a)^2 + (y_i - b)^2}$$
$$\sum_i (r_i - R)^2 (r_i + R)^2 \rightarrow \sum_i (r_i - R)^2$$



Architettura parallela

n_E	numero di eventi da processare simultaneamente
n_h	massimo numero di hit per evento
4	triplette per evento

Architettura programma (CUDA):

- dati trasmessi dalle schede di lettura all'*host* (CPU) via ethernet
- *mentre* i dati vengono letti, creazione delle triplette (CPU)
- esecuzione del *kernel* su GPU con:

- ▶ $(n_E \times 4)$ blocchi da
- ▶ n_h threads ciascuno

che eseguono le stesse istruzioni simultaneamente:

- ▶ test della formula di Tolomeo (*parallelo*)
- ▶ assegnazione degli hit ai candidati anelli (*parallelo*)
- ▶ fit di cerchi ai candidati (*semi-parallelo*)

Architettura parallela

n_E	numero di eventi da processare simultaneamente
n_h	massimo numero di hit per evento
4	triplette per evento

Architettura programma (CUDA):

- dati trasmessi dalle schede di lettura all'*host* (CPU) via ethernet
- *mentre* i dati vengono letti, creazione delle triplette (CPU)
- esecuzione del *kernel* su GPU con:
 - ▶ $(n_E \times 4)$ blocchi da
 - ▶ n_h threads ciascuno

che eseguono le stesse istruzioni simultaneamente:

- ▶ test della formula di Tolomeo (**parallelo**)
- ▶ assegnazione degli hit ai candidati anelli (**parallelo**)
- ▶ fit di cerchi ai candidati (**semi-parallelo**)

Definizione delle selezioni di trigger

Trigger **standard**: miglioramento della reiezione di $K^+ \rightarrow \pi^+\pi^0$ in tempo reale

Definizione di un **anello** utilizzabile come elemento di trigger:

- raggio “ragionevole”: $r_{min} \leq r \leq r_{max}$
- numero di hit assegnati al candidato: $n > n_{th}$
- frazione di hit assegnati al candidato: $n/n_{hit} > f_{th}$
- anelli **diversi**: $|r_i - r_j| > \Delta r_{th}$ e distanza tra i centri $d_{ij} > d_{th}$

✓ $n > 1$ anelli identificati

$\wedge n_{hit}$ compatibile con n particelle

\wedge candidati disgiunti

✓ $n \geq 1$ anelli con raggio $r > r_{th}$

✓ $n \geq 1$ anelli con cinematica tale che $\delta > \delta_{th}$



Evento
scartato

Definizione delle selezioni di trigger

Trigger **standard**: miglioramento della selezione di $K^+ \rightarrow \pi^+\pi^0$ in tempo reale

Definizione di un **anello** utilizzabile come elemento di trigger:

- raggio “ragionevole”: $r_{min} \leq r \leq r_{max}$
- numero di hit assegnati al candidato: $n > n_{th}$
- frazione di hit assegnati al candidato: $n/n_{hit} > f_{th}$
- anelli **diversi**: $|r_i - r_j| > \Delta r_{th}$ e distanza tra i centri $d_{ij} > d_{th}$

✓ $n > 1$ anelli identificati

 ∧ n_{hit} compatibile con n particelle

 ∧ candidati disgiunti

✓ $n \geq 1$ anelli con raggio $r > r_{th}$

✓ $n \geq 1$ anelli con cinematica tale che $\delta > \delta_{th}$



Evento
scartato

Definizione delle selezioni di trigger

Trigger **standard**: miglioramento della selezione di $K^+ \rightarrow \pi^+\pi^0$ in tempo reale

Definizione di un **anello** utilizzabile come elemento di trigger:

- raggio “ragionevole”: $r_{min} \leq r \leq r_{max}$
- numero di hit assegnati al candidato: $n > n_{th}$
- frazione di hit assegnati al candidato: $n/n_{hit} > f_{th}$
- anelli **diversi**: $|r_i - r_j| > \Delta r_{th}$ e distanza tra i centri $d_{ij} > d_{th}$

✓ $n > 1$ anelli identificati

 ∧ n_{hit} compatibile con n particelle

 ∧ candidati disgiunti

✓ $n \geq 1$ anelli con raggio $r > r_{th}$

✓ $n \geq 1$ anelli con cinematica tale che $\delta > \delta_{th}$



**Evento
scartato**

1

Introduzione e contesto

2

Studio di fattibilità tramite simulazioni Montecarlo

- Definizione dell'obiettivo
- Sviluppo di un algoritmo di ricostruzione eventi per il RICH
- Analisi dei fattori di proiezione
- Risparmio dello studio e prestazioni ottimali

3

Analisi di fattibilità di trigger su GPU

- Fit di anelli Ceremica in milioni
- Architettura del trigger

4

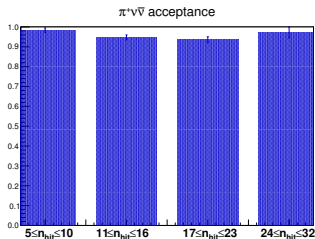
Test del trigger e conclusioni

- Efficienza e tempo di esecuzione
- Prospettive e conclusioni

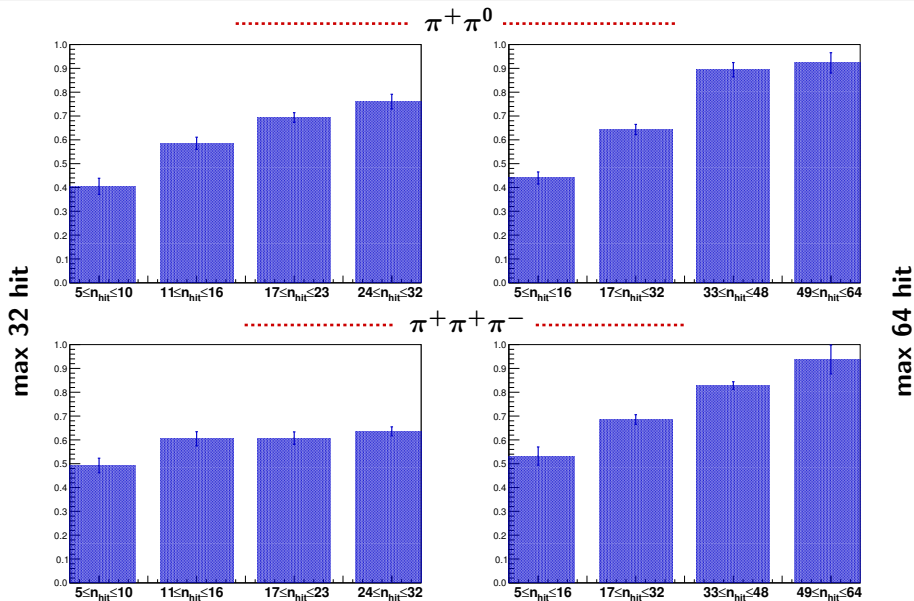
Efficienza del trigger

Tipo di dati	Filtro	Efficienza (%)	Reiezione (%)
$\pi^+\nu\bar{\nu}$	L0 + segnale	95.1 ± 0.8	–
$\pi^+\pi^0$	L0 standard	–	62.5 ± 1.4
$\pi^+\pi^+\pi^-$	L0 standard	–	59.9 ± 1.3
$\pi^+\nu\bar{\nu}$	Segnale	95.1 ± 0.8	–
$\pi^+\pi^0$	$5 \leq n_{hit} \leq 64$	–	60.4 ± 1.5
$\pi^+\pi^+\pi^-$	$5 \leq n_{hit} \leq 64$	–	73.1 ± 1.2

- Dati simulati e riformattati per massimizzare il *throughput*
- Trasmissione TEL62 → PC ad 1 Gbit/s
- Algoritmo ottimizzato per $\pi^+\pi^0$, ma con taglio sul numero di anelli → test su 3π



Reiezione dei fondi



Possibile alternativa al trigger L0 standard

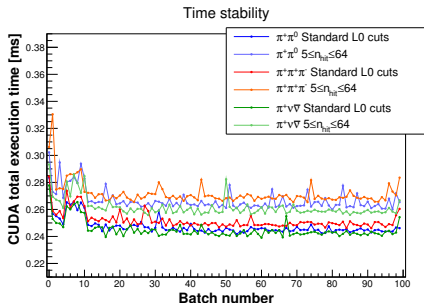
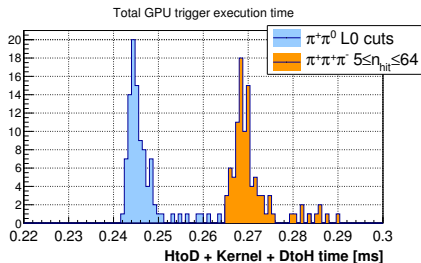
- pochi hit \rightarrow anelli (veri e ricostruiti) di bassa qualità
- il potere di reiezione **cresce con il numero di hit**
 - ▶ molti anelli, pochi hit \rightarrow difficile separazione con 4 triplette (3π)
 - ▶ incrementare il numero di triplette, oppure
 - ▶ ridisegnare l'architettura dell'algoritmo
- **elevata** capacità di identificazione dei principali fondi per eventi a molti hit:
 - ▶ possibile rilassare o eliminare i tagli di molteplicità a livello hardware
 - ▶ utilizzare solo le GPU per rigettare eventi di fondo adronici
 - ▶ ottimizzare algoritmo per l'identificazione di questo tipo di eventi
 - ▶ programmare trigger **ad hoc** per canali leptonici LV / LFV

Tempo di esecuzione e stabilità

Latenza massima del trigger L0 standard: 1 ms (dimensione memorie circolari)

⇒ necessità di:

- ▶ sostenere un rate di eventi $\mathcal{O}(10)$ MHz
- ▶ con un tempo di esecuzione stabile $\Delta t < 1$ ms
- ▶ tempi di esecuzione con $n_E = 256$ eventi in parallelo:

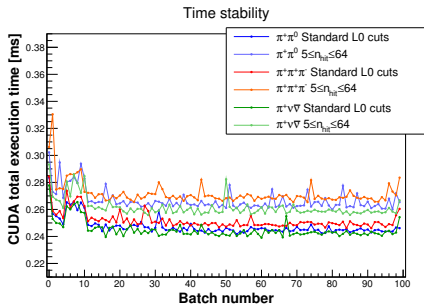
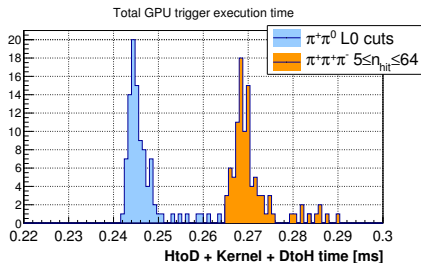


Tempo di esecuzione e stabilità

Latenza massima del trigger L0 standard: 1 ms (dimensione memorie circolari)

⇒ necessità di:

- ▶ sostenere un rate di eventi $\mathcal{O}(10)$ MHz → $\mathcal{O}(10)$ GPU
- ▶ con un tempo di esecuzione stabile $\Delta t < 1$ ms
- ▶ tempi di esecuzione con $n_E = 256$ eventi in parallelo:



Tempo di esecuzione *per evento*:

$$\Delta t_{32} = (0.97 \pm 0.02) \mu\text{s}$$

$$\Delta t_{64} = (1.06 \pm 0.02) \mu\text{s}$$

Risultati e prospettive

- Necessità di un “*toy montecarlo*” che generi un numero **conosciuto** di anelli per testare l'efficacia della fase di riconoscimento di pattern
- Efficienza di trigger e capacità di *reiezione* del fondo come da aspettative
- $\mathcal{O}(10)$ schede per affiancarsi al L0 standard
 - ▶ $\mathcal{O}(1)$ scheda a livello 0.5!
- Prima implementazione testata su dati *verosimili* con un framework di acquisizione “definitivo”
- **Ottimizzazioni** ed altre **architetture** possibili, il numero può solo diminuire
 - ▶ 1 thread \longleftrightarrow 1 tripletta
 - ▶ costruire uno *stream* continuo di dati per trovare il numero ottimale di eventi da processare simultaneamente
- Implementazione del programma come *trigger parassita* nei primi mesi di presa dati per **validarne** il comportamento su dati reali

Risultati e prospettive

- Necessità di un “*toy montecarlo*” che generi un numero **conosciuto** di anelli per testare l'efficacia della fase di riconoscimento di pattern
- **Efficienza** di trigger e capacità di **reiezione** del fondo come da aspettative
- $\mathcal{O}(10)$ schede per affiancarsi al L0 standard
 - ▶ $\mathcal{O}(1)$ scheda a livello 0.5!
- Prima implementazione testata su dati **verosimili** con un framework di acquisizione “**definitivo**”
- **Ottimizzazioni** ed altre **architetture** possibili, il numero può solo diminuire
 - ▶ 1 thread \longleftrightarrow 1 tripletta
 - ▶ costruire uno *stream* continuo di dati per trovare il numero ottimale di eventi da processare simultaneamente
- Implementazione del programma come *trigger parassita* nei primi mesi di presa dati per **validarne** il comportamento su dati reali

Risultati e prospettive

- Necessità di un “*toy montecarlo*” che generi un numero **conosciuto** di anelli per testare l’efficacia della fase di riconoscimento di pattern
- **Efficienza** di trigger e capacità di **reiezione** del fondo come da aspettative
- $\mathcal{O}(10)$ schede per affiancarsi al L0 standard
 - ▶ $\mathcal{O}(1)$ scheda a livello 0.5!
- Prima implementazione testata su dati **verosimili** con un framework di acquisizione “**definitivo**”
- **Ottimizzazioni** ed altre **architetture** possibili, il numero può solo diminuire
 - ▶ 1 thread \longleftrightarrow 1 tripletta
 - ▶ costruire uno *stream* continuo di dati per trovare il numero ottimale di eventi da processare simultaneamente
- Implementazione del programma come ***trigger parassita*** nei primi mesi di presa dati per **validarne** il comportamento su dati reali

Conclusioni: GPU in NA62 e altre applicazioni

- GPU già utilizzate per trigger di alto livello ed analisi (ATLAS, ALICE...), simulazione (BES, FAIR...), calcolo (QCD, reticoli...)
- Fisica Medica (riconoscimento di pattern ed *image processing*), Astrofisica e Cosmologia (N corpi)...
- Altre discipline: statistica, finanza, medicina (genetica), biologia (strutture proteiche)...

Questo lavoro: punto di partenza per l'introduzione di trigger di basso livello basati su GPU in Fisica delle Particelle (mai fatto prima)

- Identificare anelli Cherenkov in tempo reale \rightarrow trigger selettivi
- Analisi cinematica di base in tempo reale \rightarrow architetture "triggerless"
- In NA62:
 - ▶ Fondi principali soppressi di un fattore $\geq 60\%$ oltre al L0 standard
 - ▶ possibilità di rilassare il taglio sul numero di particelle cariche
 - ▶ costruzione di trigger specifici per altri canali rari

Conclusioni: GPU in NA62 e altre applicazioni

- GPU già utilizzate per trigger di alto livello ed analisi (ATLAS, ALICE...), simulazione (BES, FAIR...), calcolo (QCD, reticoli...)
- Fisica Medica (riconoscimento di pattern ed *image processing*), Astrofisica e Cosmologia (N corpi)...
- Altre discipline: statistica, finanza, medicina (genetica), biologia (strutture proteiche)...

Questo lavoro: punto di partenza per l'introduzione di trigger di basso livello basati su GPU in Fisica delle Particelle (**mai** fatto prima)

- Identificare anelli Cherenkov in tempo reale → trigger selettivi
- Analisi cinematica di base in tempo reale → architetture "triggerless"
- In NA62:
 - ▶ Fondi principali soppressi di un fattore $\geq 60\%$ oltre al L0 standard
 - ▶ possibilità di rilassare il taglio sul numero di particelle cariche
 - ▶ costruzione di trigger specifici per altri canali rari

Conclusioni: GPU in NA62 e altre applicazioni

- GPU già utilizzate per trigger di alto livello ed analisi (ATLAS, ALICE...), simulazione (BES, FAIR...), calcolo (QCD, reticoli...)
- Fisica Medica (riconoscimento di pattern ed *image processing*), Astrofisica e Cosmologia (N corpi)...
- Altre discipline: statistica, finanza, medicina (genetica), biologia (strutture proteiche)...

Questo lavoro: punto di partenza per l'introduzione di trigger di basso livello basati su GPU in Fisica delle Particelle (**mai** fatto prima)

- Identificare **anelli Cherenkov** in tempo reale \rightarrow trigger selettivi
- Analisi cinematica di base in tempo reale \rightarrow architetture "triggerless"
- In **NA62**:
 - ▶ Fondi principali **soppressi** di un fattore $\geq 60\%$ oltre al L0 standard
 - ▶ possibilità di rilassare il taglio sul numero di particelle cariche
 - ▶ costruzione di trigger specifici per altri **canali rari**

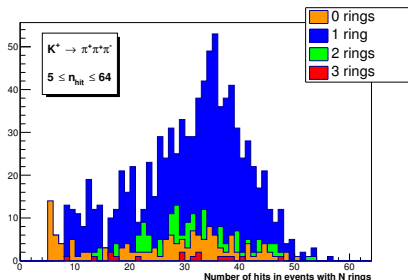
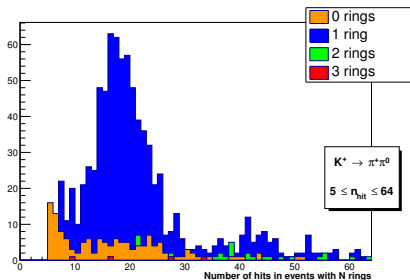


Grazie per l'attenzione!



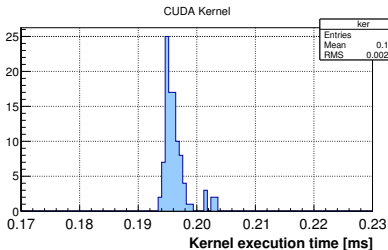
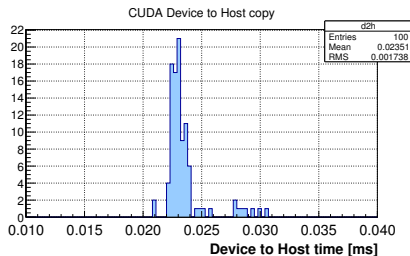
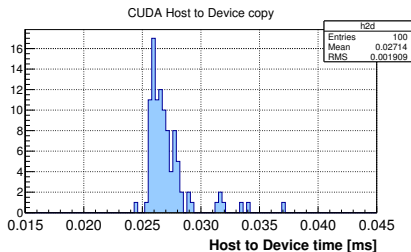
Slides di supporto

Commenti sulle prestazioni dell'algoritmo

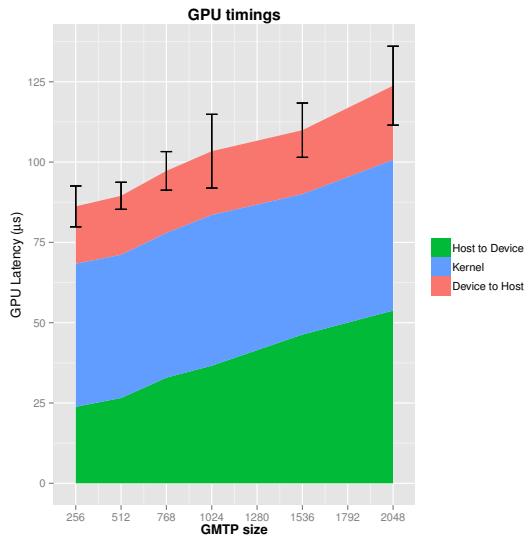


- $\pi^+\pi^0$: inefficienza $\rightarrow 0$ per $n_{hit} \gtrsim 32$
- $\pi^+\pi^+\pi^-$: molti eventi a 2 anelli, ma al crescere di n_{hit} diventa difficile identificarli
- alcuni eventi con 3 anelli identificati. Quanti in realtà?

Latenze parziali



Latency tests: single-ring



Preliminary latency tests performed with a **single-ring fitting** kernel.

Il meccanismo GIM

Generalizzazione del principio di universalità di Cabibbo:

$$J_\mu = \bar{u} \gamma_\mu (1 + \gamma_5) (\cos \theta d + \sin \theta s)$$

Glashow - Iliopoulos - Maiani

$$J_\mu = \bar{u} \gamma_\mu (1 + \gamma_5) \tilde{d} + \bar{c} \gamma_\mu (1 + \gamma_5) \tilde{s}$$

$$\tilde{d} = \cos \theta d + \sin \theta s$$

$$\tilde{s} = -\sin \theta d + \cos \theta s$$

- previsto quark c con $q = (2/3)e$
- $J_3 = [J, J^\dagger]$ diagonale nello spazio dei **flavour**
- FCNC soppressi a livello albero

La matrice CKM (1)

Si include anche la terza famiglia di quark:

$$\begin{pmatrix} d' \\ s' \\ b' \end{pmatrix} = \begin{pmatrix} V_{ud} & V_{us} & V_{ub} \\ V_{cd} & V_{cs} & V_{cb} \\ V_{td} & V_{ts} & V_{tb} \end{pmatrix} \begin{pmatrix} d \\ s \\ b \end{pmatrix}$$

Nella parametrizzazione di Wolfenstein:

$$V_{CKM} = \begin{pmatrix} 1 - \lambda^2/2 & \lambda & A\lambda^3(\rho - i\eta) \\ -\lambda & 1 - \lambda^2/2 & A\lambda^2 \\ A\lambda^3(1 - \rho - i\eta) & -A\lambda^2 & 1 \end{pmatrix} + \mathcal{O}(\lambda^4)$$

con:

$$A, \lambda > 0$$

$$\lambda = \sin \theta_{12} = \sin \theta_C$$

$$A\lambda^2 = \sin \theta_{23}$$

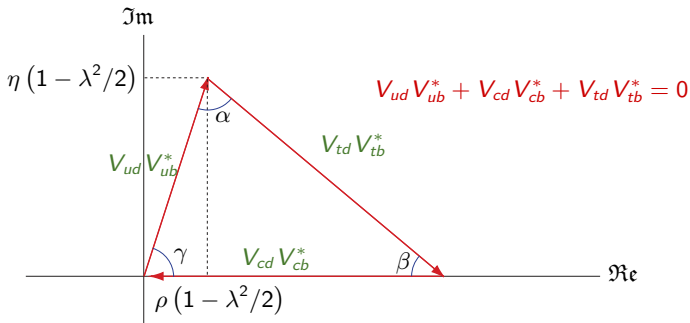
$$A\lambda^3(\rho - i\eta) = \sin \theta_{13} e^{-i\varphi}$$

La matrice CKM (2)

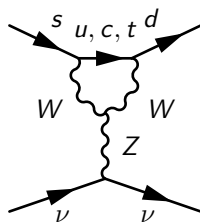
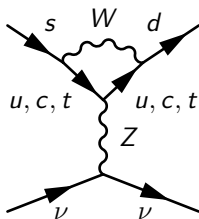
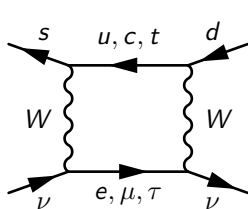
Status sperimentale:

$$|V_{CKM}| = \begin{pmatrix} 0.97425 \pm 0.00022 & 0.2252 \pm 0.0009 & (4.15 \pm 0.49) 10^{-3} \\ 0.230 \pm 0.011 & 1.006 \pm 0.023 & (40.9 \pm 1.1) 10^{-3} \\ (8.4 \pm 0.6) 10^{-3} & (42.9 \pm 2.6) 10^{-3} & 0.89 \pm 0.07 \end{pmatrix}$$

Unitarietà \implies 9 condizioni, di cui 6 rappresentabili come triangoli sul piano complesso. Ad esempio:



$$K \rightarrow \pi \nu \bar{\nu} \quad (1)$$



Al primo ordine non nullo:

$A_q \sim (m_q^2/m_W^2) \implies$ domina il quark t (processo a **corto raggio**)

$$H_{\text{eff}} = \frac{\alpha G_F}{2\sqrt{2}\pi \sin^2 \theta_W} \sum_{\ell=e,\mu,\tau} (V_{cs}^* V_{cd} X_\ell + V_{ts}^* V_{td} Y_t) (\bar{s}d) (\bar{\nu}_\ell \nu_\ell)$$

- X_ℓ ($\ell = e, \mu, \tau$) contributi del quark c
- Y_t contributo del quark t

$$K \rightarrow \pi \nu \bar{\nu} \quad (2)$$

Grazie alla simmetria di isospin:

$$\frac{BR(K^+ \rightarrow \pi^+ \nu \bar{\nu})}{BR(K^+ \rightarrow \pi^0 e^+ \nu_e)} = \frac{r_K}{\lambda^2} \left\{ [\Im(V_{ts}^* V_{td})]^2 Y_t^2 + [\lambda^4 \Re(V_{cs}^* V_{cd}) P_0 + \Re(V_{ts}^* V_{td}) Y_t]^2 \right\}$$

con:

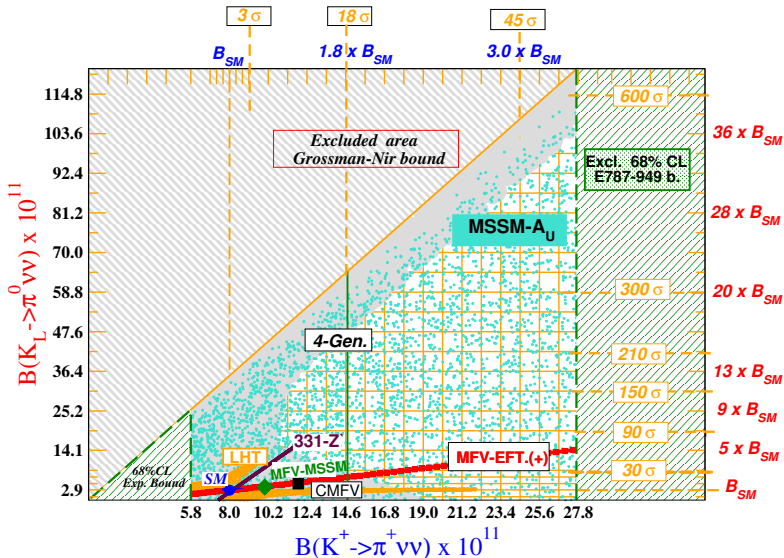
$$BR(K^+ \rightarrow \pi^0 e^+ \nu_e) \simeq 5\%$$

$$r_K = 0.901$$

$$P_0 \propto \sum_{\ell} X_{\ell} = 0.42 \pm 0.06$$

$$Y_t = 1.469 \pm 0.017 \pm 0.002$$

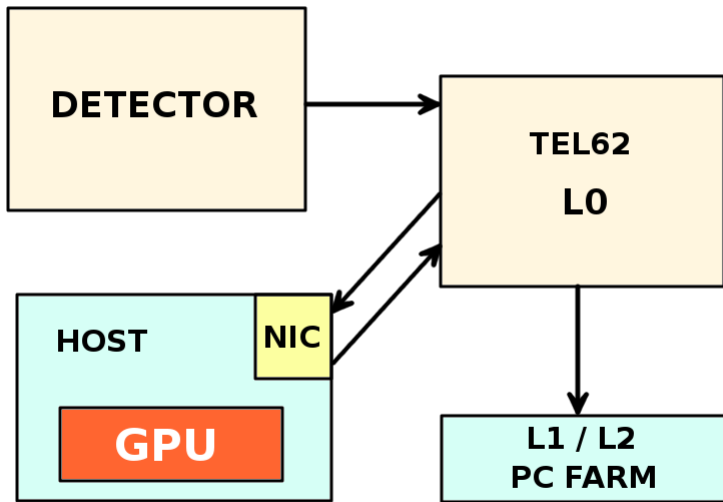
$$K \rightarrow \pi \nu \bar{\nu} \quad (3)$$



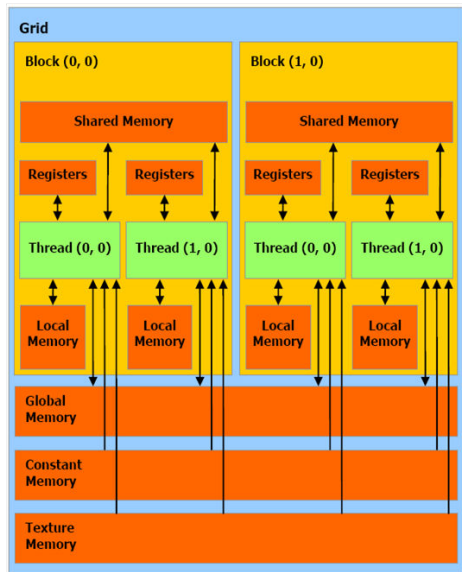
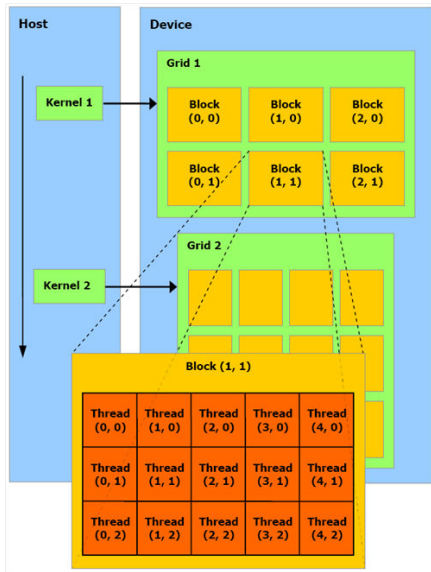
K^+ decay mode	SM violation	Branching ratio at 90% C.L.	Experiment
$\pi^+ \mu^+ e^-$	LF	$< 1.3 \times 10^{-11}$	BNL E777 – E865
$\pi^+ \mu^- e^+$	LF	$< 5.2 \times 10^{-10}$	BNL E865 – CERN NA48/2
$\pi^- \mu^+ e^+$	L	$< 5.0 \times 10^{-10}$	BNL E865 – CERN NA48/2
$\pi^- e^+ e^+$	L	$< 6.4 \times 10^{-10}$	BNL E865 – CERN NA48/2
$\pi^- \mu^+ \mu^+$	L	$< 1.1 \times 10^{-9}$	CERN NA48/2

Tabella: Selected Lepton Number (L) and Lepton Flavour Number (LF) violating K^+ decay modes, and current experimental limits

Ambiente di test



Architettura GPU



Selezioni di trigger: numeri

Trigger **standard**: miglioramento della reiezione di $K^+ \rightarrow \pi^+\pi^0$ in tempo reale

Definizione di un **anello** utilizzabile come elemento di trigger:

- raggio “ragionevole”: $50 \text{ cm} \leq r \leq 350 \text{ cm}$
- numero di hit assegnati al candidato: $n > 5$
- frazione di hit assegnati al candidato: $n/n_{hit} > 1/3$
- anelli **diversi**: $|r_i - r_j| > 1 \text{ cm}$ e distanza tra i centri $d_{ij} > 2 \text{ cm}$

✓ $N_R > 1$ anelli identificati

$\wedge n_{hit} > 16 + n_{th} \times (N_R - 1)$

\wedge candidati disgiunti: $\sum_i^{N_R} n_i < (n_{hit} + 30\%)$

✓ $n \geq 1$ anelli con raggio $r > 17.9 \text{ cm}$

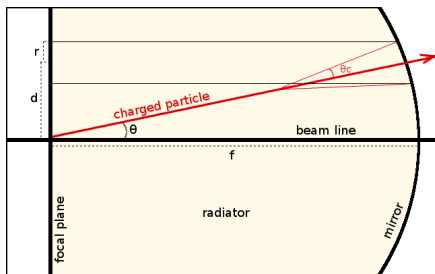
✓ $n \geq 1$ anelli con cinematica tale che $\delta > 0.002$



**Evento
scartato**

RICH: formule

- soglia: $\beta_{th} = 1/n$
- ovvero: $p_{th}(m) = m/\sqrt{n^2 - 1}$
- eqn. di Clausius - Mossotti:
 $(n^2 - 1)/(n^2 + 2) \propto \rho$
- ampiezza cono: $\cos \theta_c = 1/(n\beta)$
- misura: $1/\beta = n \cos[\arctan(r/f)]$
- misura: $\theta = \tan(d/f)$



Misura di impulso:

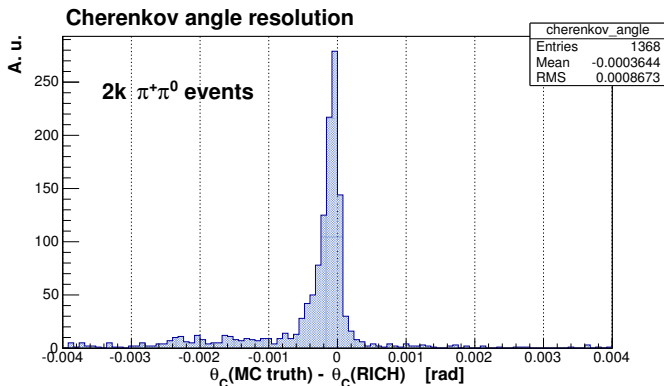
$$p(m, r) \simeq \frac{m f}{\sqrt{r_{max}^2 - r^2}}$$

$$r_{max} = f \sqrt{n^2 - 1}$$

$$\Delta p \simeq 1.5\% p \text{ (misurata al test beam)}$$

$$\frac{\partial \beta}{\partial r} = \frac{r}{f^2 n \sqrt{(r/f)^2 + 1}}$$

Risoluzione angolo Cherenkov



Per particelle di impulso elevato, l'angolo di emissione Cherenkov è leggermente sovrastimato.

Ring fitting: parametrizzazione

Parametrizzazione **geometrica**:

$$(x - a)^2 + (y - b)^2 - R^2 = 0$$
$$R > 0$$

Fit **geometrico** dei minimi quadrati:

$$r_i(a, b) \equiv \sqrt{(x_i - a)^2 + (y_i - b)^2}$$

$$\mathcal{F}(a, b, R) = \sum_i (r_i - R)^2$$

$$\hat{R} = \frac{1}{n} \sum_i r_i = \bar{r} \implies \mathcal{F}(a, b, \bar{r}) = \sum_i (r_i - \bar{r})^2$$

Parametrizzazione **algebraica**:

$$A(x^2 + y^2) + Bx + Cy + D = 0$$

$$A \neq 0$$

$$B^2 + C^2 - 4AD > 0$$

più un vincolo addizionale (i parametri sono determinabili a meno di una costante).

Ring fitting: algoritmo “math”

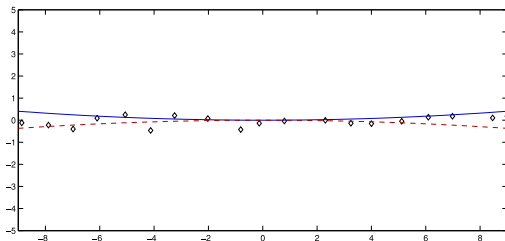
Definendo

$$f_i \equiv (x_i - a)^2 + (y_i - b)^2 - R^2$$

si minimizza la funzione $\mathcal{F}_1 \equiv \sum_i f_i^2$, leggermente diversa dalla precedente \mathcal{F} (si tratta di un fit algebrico). Passando ai parametri algebrici:

$$\mathcal{F}_1 = \sum_i (x_i^2 + y_i^2 + Bx_i + Cy_i + D)^2$$

Scarsa robustezza rispetto al raggio dell'anello: $f_i = (r_i - R) \times (r_i + R)$



Ring fitting: algoritmo di Taubin

Definiamo $d_i = r_i - R$ e $D_i = r_i + R$. Se i punti sono vicini al cerchio:

$$\left. \begin{array}{l} D_i = d_i + 2R \\ |d_i| \ll R \end{array} \right\} \implies \mathcal{F}_1 \approx 4R^2 \sum_i d_i^2 \equiv \mathcal{F}_2$$

Dalla naturale assunzione $|d_i| \ll R$ segue

$$R^2 \approx \frac{1}{n} \sum_i (R + d_i)^2 = \frac{1}{n} \sum_i \left[(x_i - a)^2 + (y_i - b)^2 \right] = \frac{1}{n} \sum_i r_i^2$$

$$\mathcal{F}_2 = \left(\frac{4}{n} \sum_i r_i^2 \right) \times \left(\sum_i d_i^2 \right) \equiv \mathcal{F}_r \times \mathcal{F}_d$$

Vogliamo minimizzare il secondo fattore. Usiamo quindi come funzione minimizzanda $\mathcal{F}_d \approx \mathcal{F}_1/\mathcal{F}_r$, che equivale a minimizzare

$$\mathcal{F}_3 \equiv \sum_i \left[A(x_i^2 + y_i^2) + Bx_i + Cy_i + D \right]^2$$

con il vincolo $4A^2(x_i^2 + y_i^2) + 4ABx_i + 4ACy_i + B^2 + C^2 = 1$.

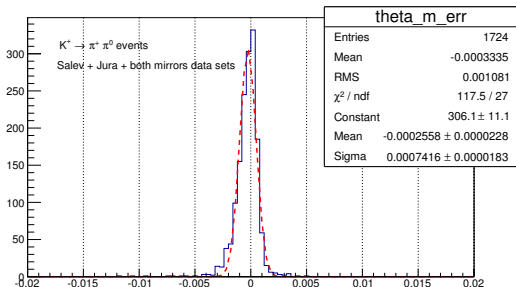
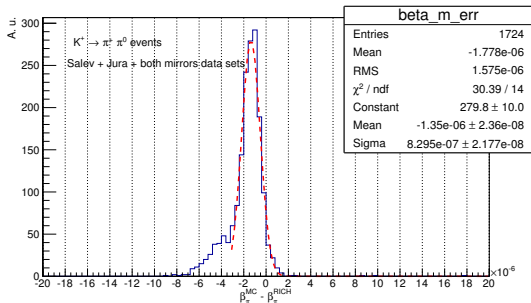
RICH reconstruction

Geometry:

- 1 correct mirrors tilt (hit by hit)
- 2 shift X_{center} of the fitted ring according to RICH rotation around the y -axis

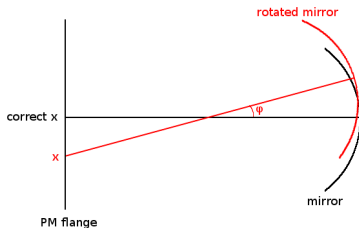
Propagation:

- 1 Spectrometer magnet: compute P_{kick} assuming particle is a π^+
- 2 GTK magnet: subtract 12 mrad from $\theta_{K\pi}$



Geometry: mirrors tilt

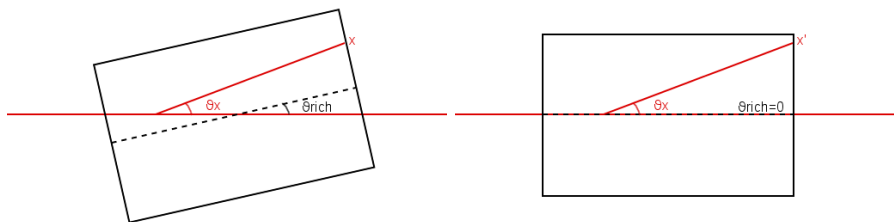
Mirrors are tilted by different angles ϕ , ϕ' w.r.t. the RICH axis. Hit by hit, we check **which** spot was hit and apply a **corrective shift** to the coordinates of the firing PMT. Ring fitting is then performed on the new coordinate sets.



```
TVector2 RICHReconstruction::computeHitCorrection(Int_t ChId)
{
  TVector2 corrections(0,0);
  TVector2 beta(0,0); // TVector2, in case we need a vertical rotation
  if(ChId < (fNChannels/2))
    beta = fJuraRotation; //(0.0027316, 0)
  else
    beta = fSalevRotation; //(0.00427106, 0)
  corrections.Set(beta.X() * fFocalLenght * 2 , beta.Y() * fFocalLenght); // f = R/2
  return corrections;
}
```

```
TVector2 hitCorrection = computeHitCorrection(fiHitCh[iHitCh]); // ... fitting...
hitPositions.push_back( Position - hitCorrection );
Xcog += ( Position - hitCorrection ).X() ; //center of gravity
Ycog += ( Position - hitCorrection ).Y() ;
```

Geometry: RICH alignment



- The particle **direction** is computed **w.r.t. the RICH frame**
- Detector placed at an angle θ_{rich} w.r.t. the lab frame
- Perform the ring fit, **then** apply a corrective shift to the **ring center**:

$$\tan \theta'_x = \frac{x}{f} \quad (f = \text{focal length})$$

$\theta'_x =$ angle w.r.t. the RICH axis

$$\theta_x = \theta'_x + \theta_{rich} = \arctan \frac{x}{f} + \theta_{rich}$$

$\theta_x =$ angle w.r.t. the lab z-axis

$$\tan \theta_x = \frac{x'}{f} \implies \mathbf{x}' = f \tan \left(\arctan \frac{x}{f} + \theta_{rich} \right)$$

new center position

Backwards propagation

Geometry: hit-by-hit and ring-wide corrective shifts $x \rightarrow x'$ (with INFN Firenze)

- ring radius $r \rightarrow \mathbf{1/\beta = n \cos [\arctan (r/f)]}$
- ring center (x', y)

- 1 Compute the components of the particle direction:

$$\theta_x = \arctan(x'/f) \qquad \theta_y = \arctan(y/f)$$

- 2 **assume** the detected particle is a π^+ .
- 3 **propagate** the track backwards across MNP33, and compute the direction of the particle w.r.t. that of the decaying beam K^+ :
 - ▶ compute $\theta_{kick} = P_{kick}/P(\beta)$
 - ▶ propagate $(\theta_{K\pi})_x = \theta_x - \theta_{kick} - \theta_K$
 - ▶ obtain $(\theta_{K\pi})^2 = [(\theta_{K\pi})_x]^2 + \theta_y^2$
- 4 variables β and $\theta_{K\pi}$ available for the definition of a selection algorithm

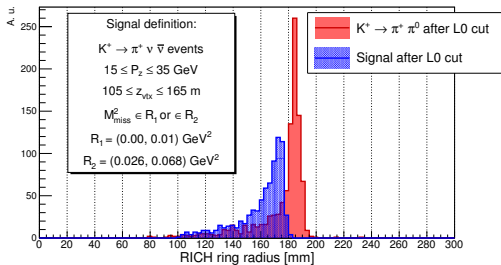
$$P_{kick} = -270 \text{ MeV}/c \qquad \theta_K = +0.0012 \text{ rad}$$

Kinematic rejection of $\pi^+\pi^0$

Signal ($\pi\nu\bar{\nu}$):

$$15 \leq P_z \leq 35 \text{ GeV}$$

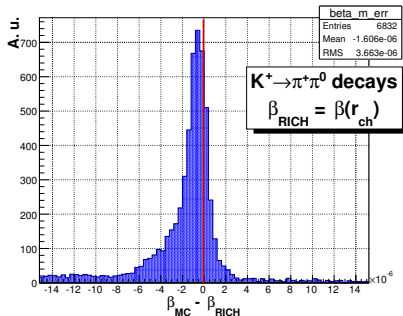
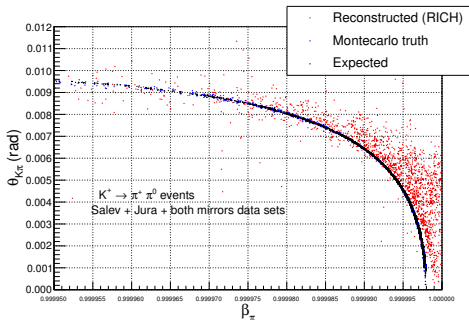
- \exists a maximum Čerenkov cone aperture
- trigger on $\mathbf{R} \leq \mathbf{R}_{th}$



R_{th} (mm)	Signal efficiency	RICH only	RICH after L0	RICH and L0
176.0	0.926	0.634	0.701	0.930
177.0	0.960	0.613	0.683	0.926
177.5	0.971	0.598	0.677	0.925
178.0	0.976	0.585	0.670	0.923
178.5	0.983	0.568	0.660	0.921
179.0	0.986	0.552	0.648	0.918
179.5	0.990	0.533	0.638	0.915
180.0	0.995	0.513	0.620	0.912
181.0	0.996	0.470	0.590	0.904

Computational limits

- slight reconstruction **asymmetry** in β , overestimated (at least for high-energy pions): **not yet completely understood**
- it results in an error in $\theta_{K\pi}$ through $P(\beta)$ and $P_{kick}(P)$
- β , $\theta_{K\pi}$ functionally dependent in 2-body decay \rightarrow strong **correlation**
- **errors “explode”** when computing $f(\beta, \theta_{K\pi})$, e.g. $M_{\text{miss}}^2(K^+, \pi^+)$



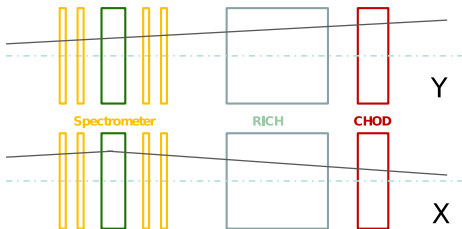
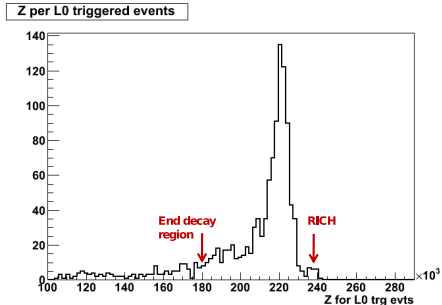
$\pi^+\pi^0$ rejection at L1

Possibility: use **CHOD** and **RICH** together to trace back the decay vertex.

$\pi^+\pi^0$ surviving L0 are produced far from the fiducial decay region



~80% can be cut without affecting the signal even with limited z_{vtx} resolution (G. Lamanna – 2011).



NVIDIA Tesla K20c GPU: specifiche tecniche

```
Device 0: Tesla K20c
CUDA Driver Version / Runtime Version 5.0 / 5.0
CUDA Capability Major/Minor version number: 3.5
Total amount of global memory: 4800 MBytes (5032706048 bytes)
(13) Multiprocessors x (192) CUDA Cores/MP: 2496 CUDA Cores
GPU Clock rate: 706 MHz (0.71 GHz)
Memory Clock rate: 2600 Mhz
Memory Bus Width: 320-bit
L2 Cache Size: 1310720 bytes
Max Texture Dimension Size (x,y,z) 1D=(65536), 2D=(65536,65536), 3D=(4096,4096,4096)
Max Layered Texture Size (dim) x layers 1D=(16384) x 2048, 2D=(16384,16384) x 2048
Total amount of constant memory: 65536 bytes
Total amount of shared memory per block: 49152 bytes
Total number of registers available per block: 65536
Warp size: 32
Maximum number of threads per multiprocessor: 2048
Maximum number of threads per block: 1024
Maximum sizes of each dimension of a block: 1024 x 1024 x 64
Maximum sizes of each dimension of a grid: 2147483647 x 65535 x 65535
Maximum memory pitch: 2147483647 bytes
Texture alignment: 512 bytes
Concurrent copy and kernel execution: Yes with 2 copy engine(s)
Run time limit on kernels: No
Integrated GPU sharing Host Memory: No
Support host page-locked memory mapping: Yes
Alignment requirement for Surfaces: Yes
Device has ECC support: Enabled
Device supports Unified Addressing (UVA): Yes
Device PCI Bus ID / PCI location ID: 132 / 0
Compute Mode:
< Default (multiple host threads can use ::cudaSetDevice() with device simultaneously) >
deviceQuery, CUDA Driver = CUDART, CUDA Driver Version = 5.0, CUDA Runtime Version = 5.0, NumDevs = 1, Device0 = Tesla K20c
```